

101 – Bacino Idrografico del Torrente Fiumedinisi

PROF. ING.
GABRIELE FRENI

[COMPANY NAME] | [Company address]

Indice

1	<i>Premessa</i>	2
2	<i>Sintesi dell'inquadramento morfologico e territoriale.....</i>	3
3	<i>Valutazione delle variabili climatiche e di consumo di suolo</i>	11
4	<i>Valutazione della suscettibilità dei bacini alle piene lampo.....</i>	21
5	<i>Valutazione della suscettibilità delle piene ai trend climatici</i>	32
6	<i>Modifiche alle misure di piano</i>	34
	6.1	Aggiornamento della valutazione dei punteggi tecnici alle misure inserite nel piano in relazione alla valutazione del cambiamento climatico.....34
	6.2	Proposta di nuove misure per la mitigazione delle piene lampo e dell'impatto del cambiamento climatico.....34

1 Premessa

L'appendice alla relazione fornisce, per ciascun bacino o area territoriale omogenea, l'inquadramento morfologico utile alla valutazione del rischio di piene lampo attraverso l'applicazione della metodologia geomorfologica Arno (Brugioni et al., 2010)¹. Per una più ampia discussione sulle caratteristiche morfologiche e sull'inquadramento geografico ed amministrativo del bacino, si rimanda alla relazione generale del Piano di Gestione del Rischio Alluvioni.

In particolare, successivamente alla delimitazione di tutti i sottobacini con superficie superiore ai 2 kmq e, in generale, inferiore ai 15 kmq, si è proceduto alla valutazione degli indicatori morfologici utili alla stima del rischio di piene lampo: l'area del sottobacino ed il tempo di lag. E' stata quindi analizzata la variabile indice idrologica (il tempo di ritorno delle piogge intense di durata pari ad un'ora e volume pari a 50mm) che è stata considerata un'adeguata "proxy" della frequenza con cui si manifestano eventi meteorici brevi ed intensi che possono determinare piene lampo. Infine, come ulteriore fattore predisponente, si è adoperato il grado di consumo di suolo per ciascun sottobacino espresso come il rapporto tra l'area consumata e l'area totale. Questi ultimi due indicatori, essendo soggetti a variabilità nel tempo per variazioni climatiche o per intervento antropico, sono stati valutati nelle condizioni attuali e nello scenario di medio periodo al 2050. Per ciascun fattore sono state determinate 4 classi attribuendo un punteggio da 1 a 4 dove i valori più bassi rappresentano una condizione di minore suscettibilità al fenomeno delle piene lampo. E' stata poi effettuata una media aritmetica dei punteggi per ciascun bacino reputando che i fattori siano equipollenti nella determinazione del rischio di piene lampo.

Per i tratti fluviali caratterizzati da bacini drenati di maggiori dimensioni, si è proceduto ad una seconda analisi di valutazione dell'impatto del cambiamento climatico valutando il tempo di corrivazione (in analogia alla metodologia Arno) per il bacino drenato da ciascuna asta fluviale e assumendo come variabile di riferimento la variazione media areale (allo scenario 2050) delle altezze di pioggia di massima intensità annua e durata più prossima al tempo di corrivazione.

A seguito delle valutazioni analitiche, un apposito paragrafo evidenzia l'opportunità di integrare le misure previste dal piano con azioni specifiche volte alla mitigazione del rischio di piene lampo e dell'impatto del cambiamento climatico.

¹ M. Brugioni, B. Mazzanti and S. Franceschini (2010). How meaningful is flash flood risk mapping? - Arno River Basin Authority. WG F Thematic Workshop on Implementation of the Floods Directive 2007/60/EC "FLASH FLOODS AND PLUVIAL FLOODING", 26th – 28th May 2010, Cagliari, Italy.

2 Sintesi dell'inquadrimento morfologico e territoriale

Il territorio corrispondente al bacino idrografico del Torrente Fiumedinisi è localizzato nel settore orientale della Sicilia, caratterizzato dalla presenza del sistema montuoso dei Monti Peloritani. La morfologia è decisamente aspra, valli strette, con versanti scoscesi e accidentati, profondamente incise da numerosi torrenti dal bacino modesto e a notevole pendenza, alternati a rilievi che raggiungono quasi la quota massima di 1300 metri s.l.m., e modeste aree pianeggianti in corrispondenza della zona costiera e lungo il fondovalle alluvionale. L'elevata pendenza media dei versanti rappresenta un ostacolo per lo sviluppo pedo-agronomico del territorio e un fattore accelerante dei processi di erosione dei terreni e di formazione dei fenomeni di dissesto. Nel quadro morfologico dell'area peloritana fanno spicco elementi idrografici particolari, tipici dell'arco calabro-peloritano, denominati "fiumare". Si tratta di corsi d'acqua di ridotta lunghezza e notevole pendenza in tutto il tratto montano-collinare del bacino, dove l'elevato trasporto solido è tale da assumere, in alcune porzioni del corso principale e nelle aste secondarie, il carattere di debris-flow (colata di detrito); di contro, nel tratto medio e vallivo si registrano pendenze relativamente basse e il letto ghiaioso-ciottoloso, largo e spesso sovralluvionato, testimonia l'impetuosità delle portate di piena. Le fiumare sono caratterizzate da un regime idrologico marcatamente torrentizio, strettamente dipendente dalla distribuzione delle precipitazioni.

Tali elementi idrici sono tipici delle aree di recente sollevamento, laddove rilievi di notevole altezza, assai prossimi alla costa, portano a forti differenze di quota in spazi ridotti e favoriscono delle accentuate pendenze dei talweg. Infatti, il paesaggio assume spesso caratteristiche di alta collina e di montagna non lontano dalla zona di costa. Nell'ambito territoriale del bacino è possibile distinguere tre settori con caratteristiche morfologiche differenti. La fascia montana interessa il settore settentrionale del bacino è caratterizzata da una morfologia tipicamente montuosa, aspra e accidentata; il paesaggio risulta fortemente acclive con brusche rotture di pendenza e caratterizzato da dirupi a pareti subverticali e speroni rocciosi. La fascia intermedia, di raccordo tra la zona costiera e quella montana, risulta interessata prevalentemente da un sistema collinare caratterizzato da acclività variabili con rilievi via via più aspri procedendo verso monte, e condizionato dalle coltri detritiche delle metamorfite con instabilità diffusa e resistenza all'erosione da moderata a bassa, oltreché da brusche rotture di pendenza in relazione all'accostamento di litologie estremamente varie. La fascia costiera, ad andamento pianeggiante, è caratterizzata da una stretta fascia litoranea; presenta una forma grosso modo rettangolare delimitata a sud-est dal Mare Ionio.

Il Torrente Fiumedinisi sfocia nel Mar Ionio nei pressi di Nizza di Sicilia. Il reticolo idrografico del bacino, in dipendenza della natura dei terreni, della conformazione orografica della zona e della tettonica, caratterizza il bacino in due diversi settori. A Nord dell'abitato di Fiumedinisi, il reticolo idrografico è molto ramificato ed organizzato a ventaglio ed il bacino si presenta ampio e ben sviluppato in direzione NE-SW; numerosi sono gli affluenti: i Valloni Orgolici, Uotero e Sabbetta ed i Valloni Soldato, Cardia, Bottaccio, Paradore e Rumano, rispettivamente affluenti di destra e di sinistra del Fosso della Santissima; il T.teCipollazzo ed il Vallone Colonnina dalla cui confluenza si origina il Torrente Vacco.

La Tavola 1 inquadra territorialmente il bacino e ne fornisce alcune caratteristiche salienti. La Tavola 2 fornisce il dato relativo all'altimetria sulla base del

Modello Digitale delle Elevazioni recentemente predisposto dal Dipartimento dei Servizi Tecnici Nazionali e avente risoluzione spaziale pari a 10 m.

Le successive Tavole 3, 4 e 5 definiscono le funzioni di:

- Lunghezza dei percorsi di drenaggio dalla displuviale alla foce
- Flow Accumulation ovvero la superficie del bacino drenato da ciascun elemento del reticolo idrografico delineato
- Le pendenze dei versanti

L'insieme di questi elementi morfologici ha consentito di individuare i sottobacini drenati da ciascuna porzione del reticolo idrografico ed aventi superficie inferiori a 10 km². Complessivamente sono stati individuati 13 sottobacini su cui si è proceduto, nel paragrafo successivo a stimare i fattori predisponenti al rischio di piene lampo catalogando i sottobacini in 4 classi di Suscettibilità.

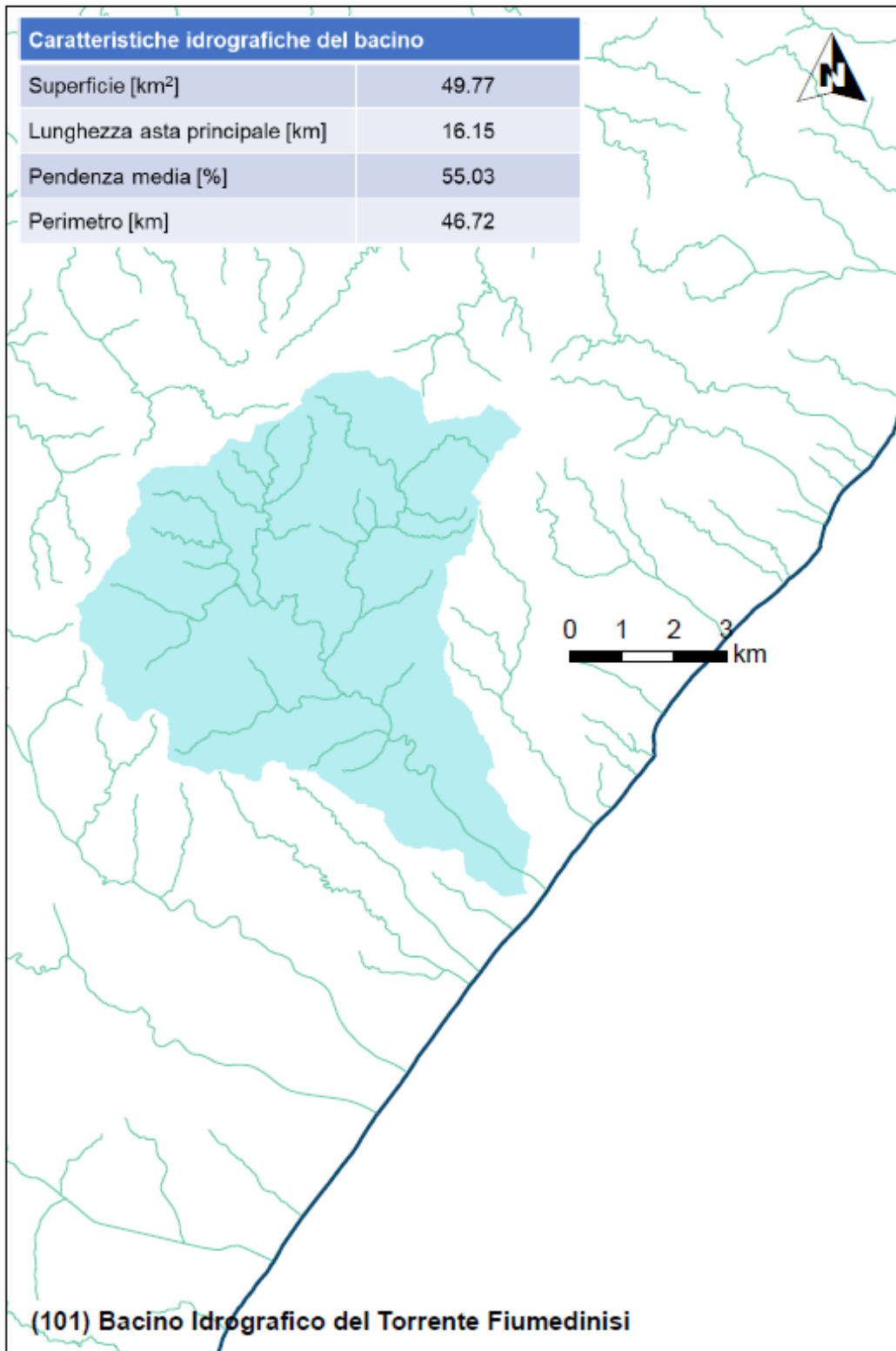


Figura 1 Inquadramento Territoriale del bacino

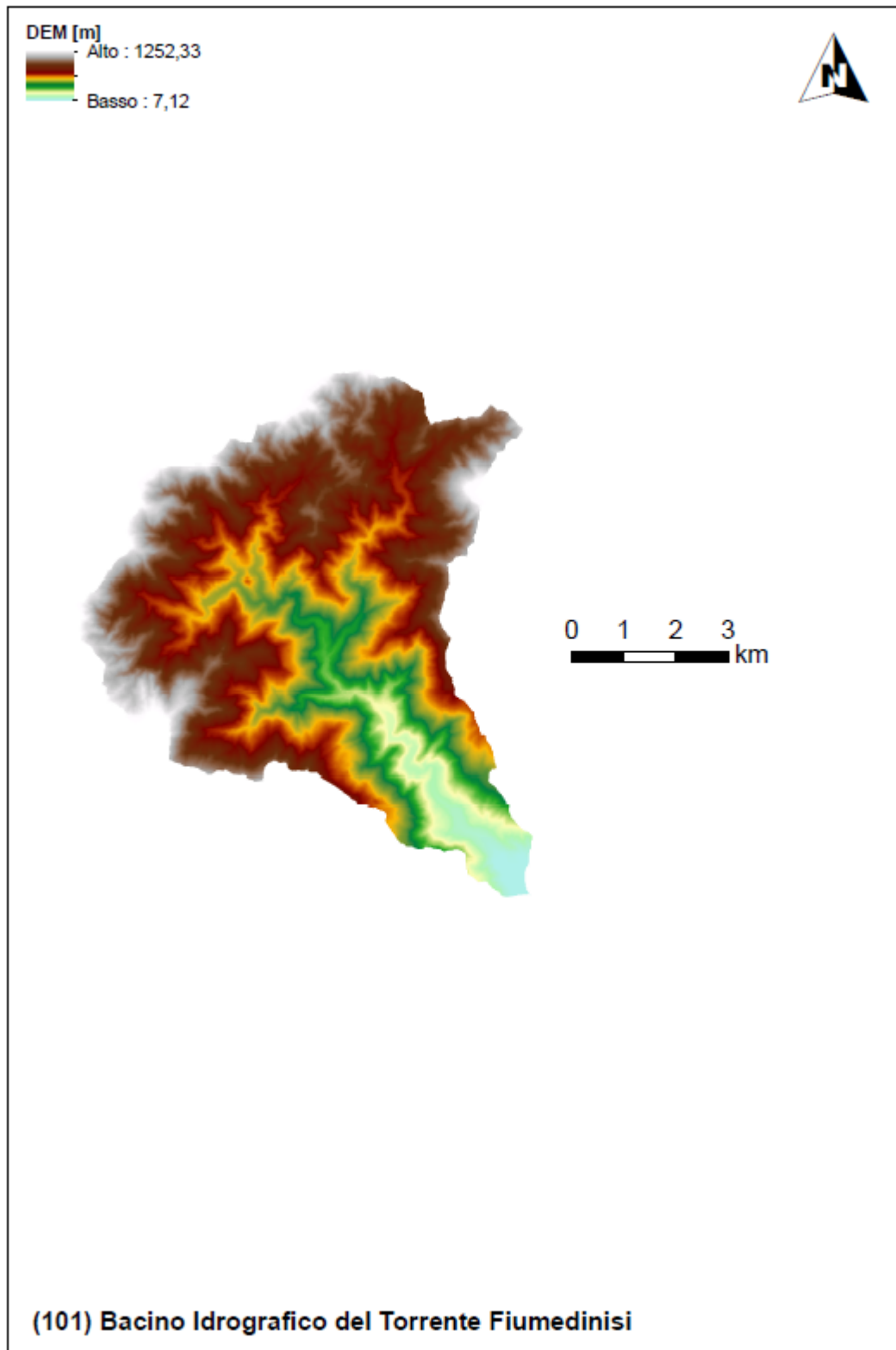


Figura 2 Modello digitale delle elevazioni con risoluzione spaziale pari a 10 m

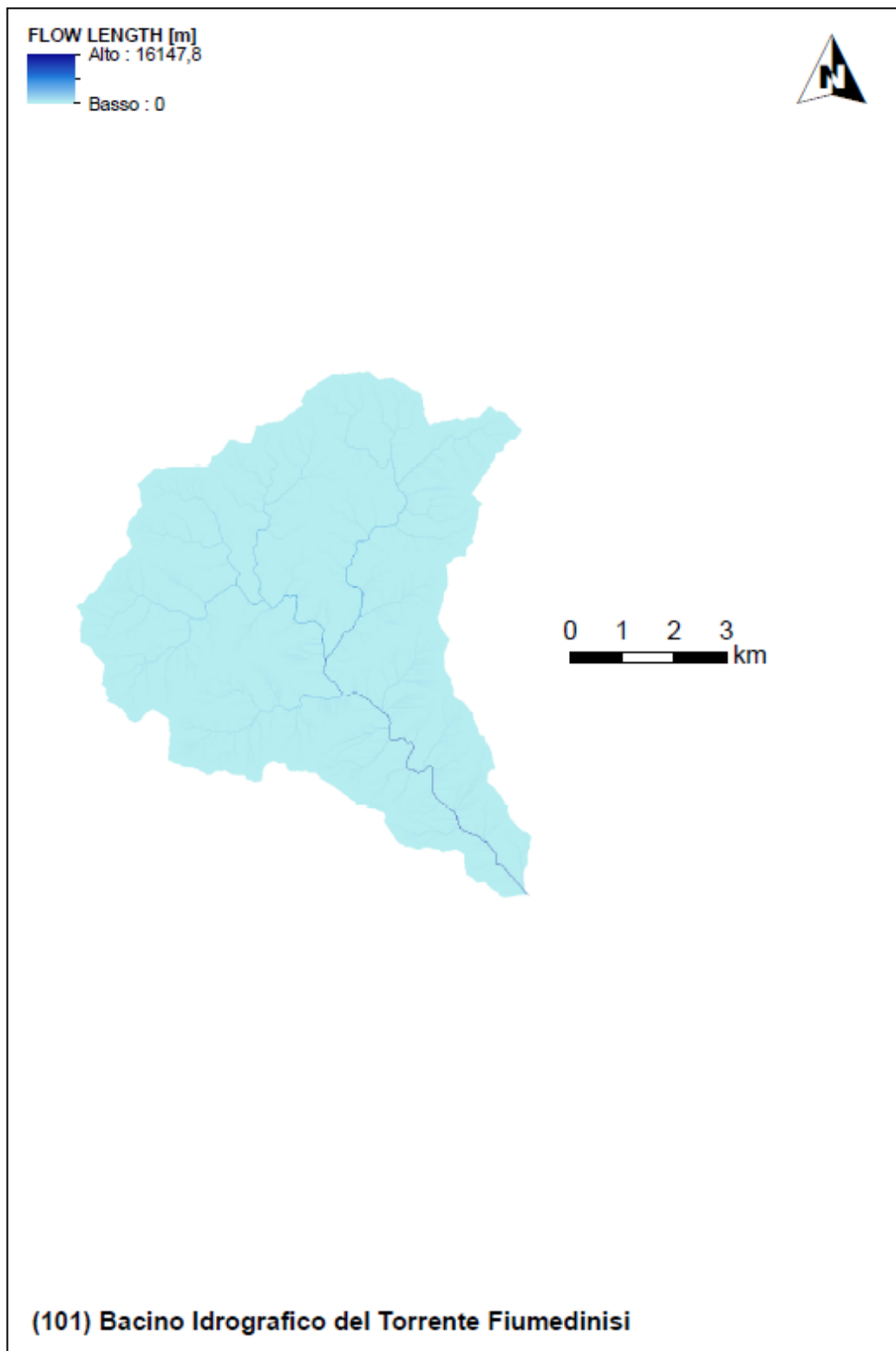


Figura 3 Lunghezze dei percorsi di drenaggio sulla base del modello digitale delle elevazioni

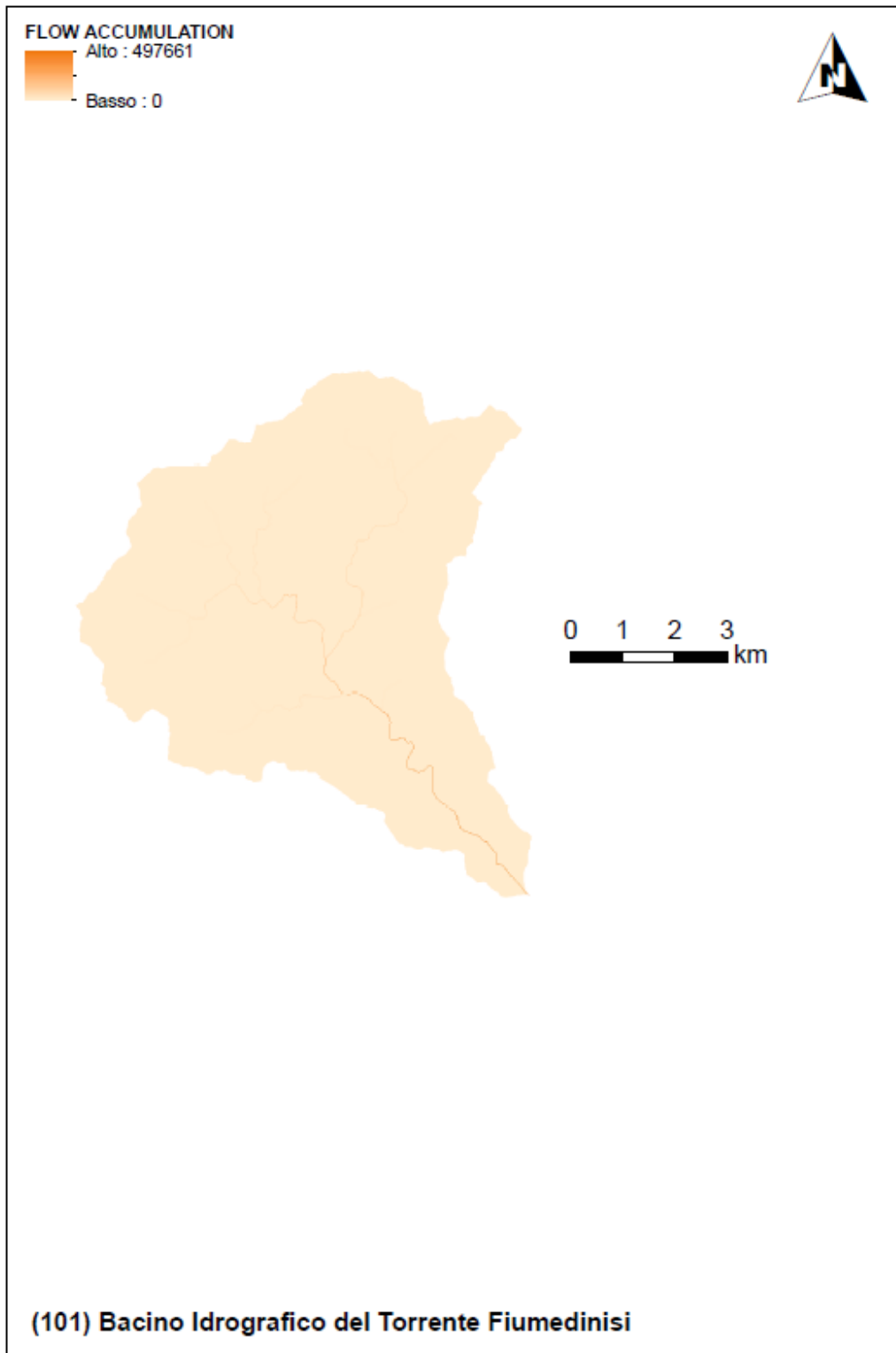


Figura 4 Funzione Flow Accumulation del bacino

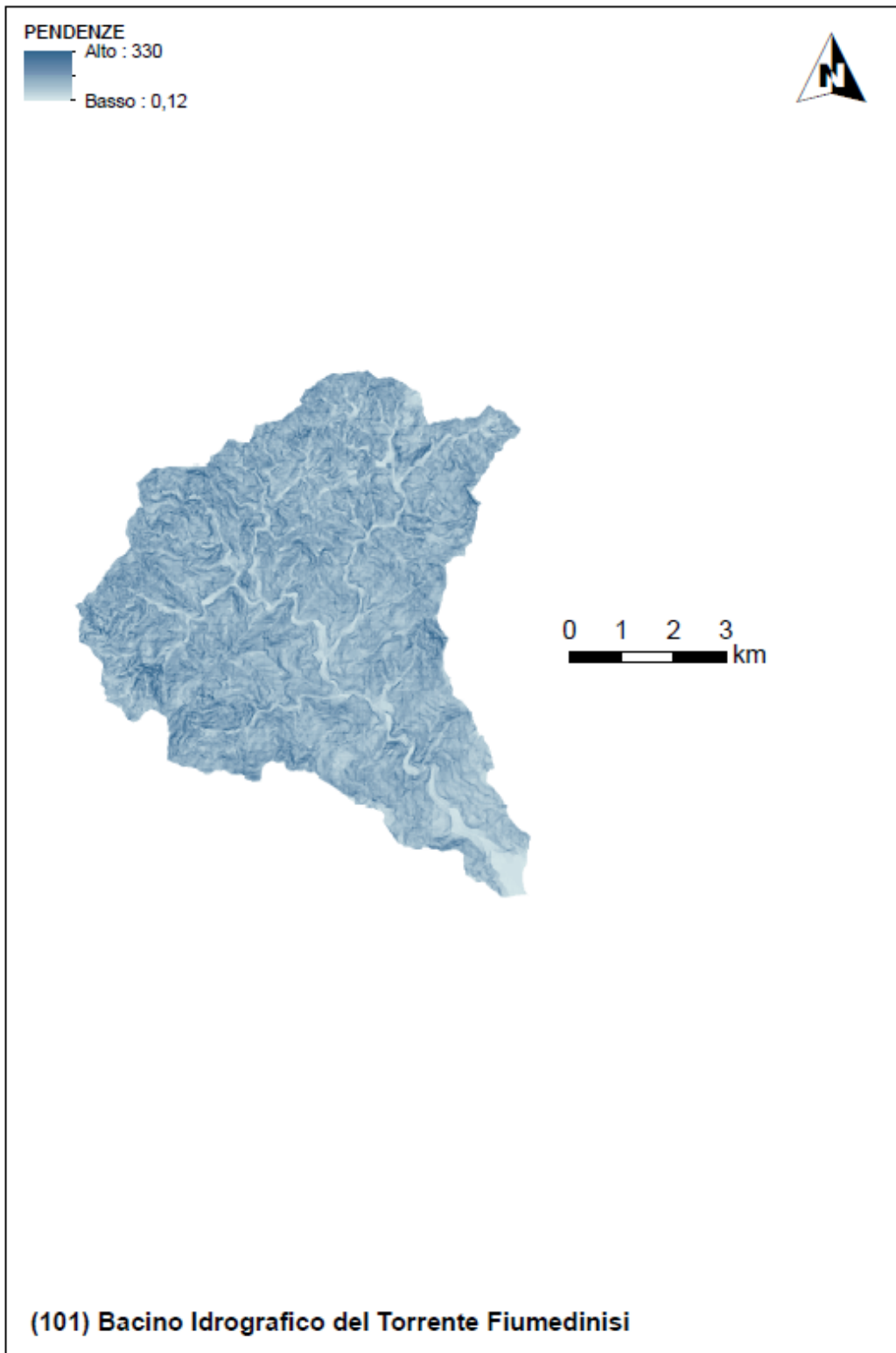


Figura 5 Carta delle pendenze [%] sulla base del modello digitale delle elevazioni con risoluzione spaziale pari a 10 m

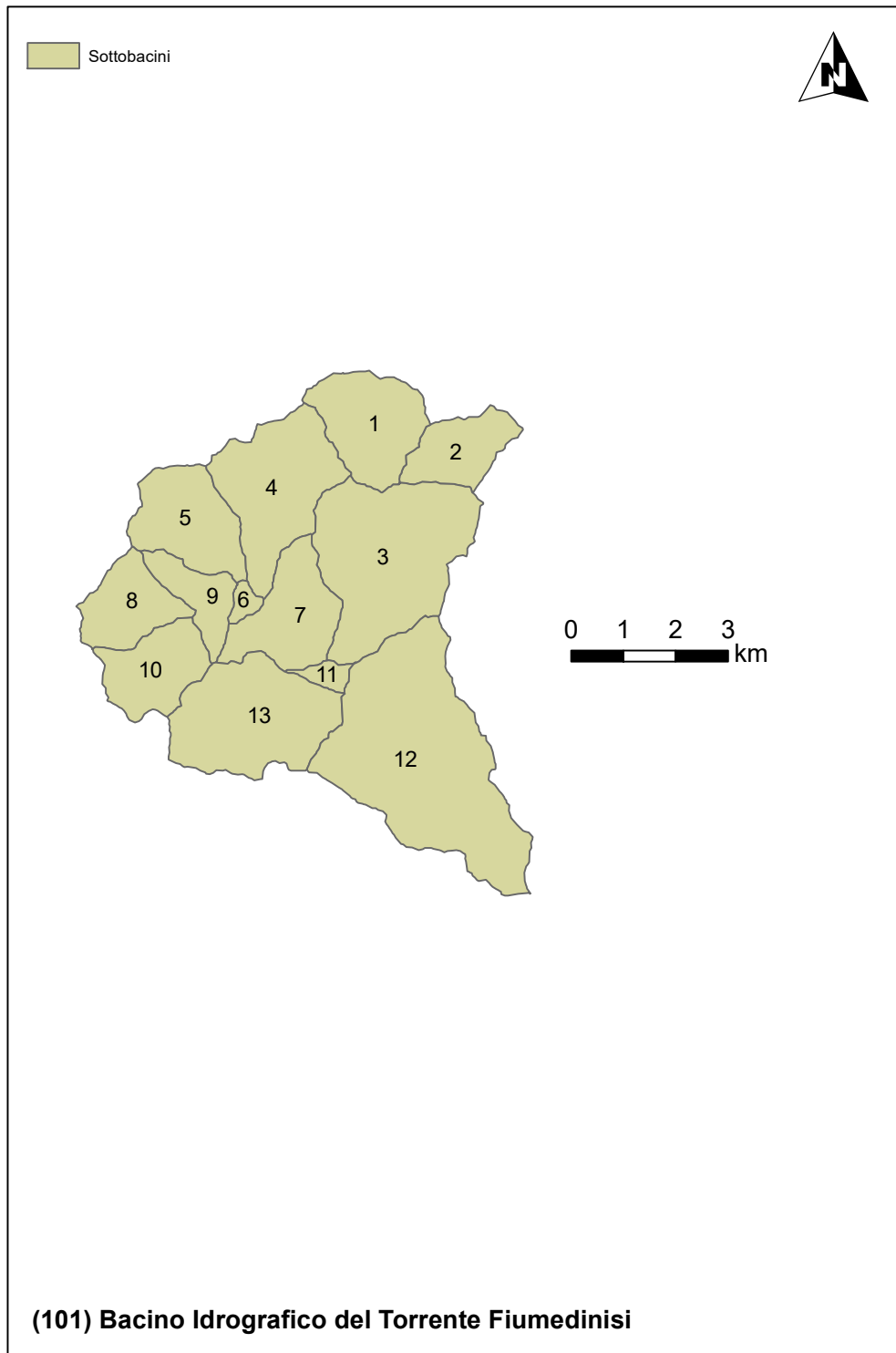


Figura 6 Delimitazione dei sottobacini sulla base delle caratteristiche morfologiche e della densità di drenaggio

3 Valutazione delle variabili climatiche e di consumo di suolo

Come ampiamente discusso nella relazione generale, l'analisi climatica è stata sviluppata in due fasi:

- L'analisi del trend sul tempo di ritorno della variabile indice (altezza di pioggia pari a 50 mm in un'ora) stimato attraverso l'applicazione della GEV a subset di dati di dimensioni progressivamente crescenti inglobando gli ultimi dati registrati disponibili;
- L'analisi del trend climatico sulle serie di piogge di massima intensità annuale e fissata durata.

La prima analisi è stata effettuata perché funzionale alla stima del rischio di piene lampo e dell'evoluzione di tale rischio nello scenario di cambiamento climatico di medio termine (2050).

I tempi di ritorno risultano medio-bassi (in generale inferiori a 25 anni) incidendo negativamente sul rischio di piene lampo nel bacino. Nello scenario climatico di medio termine si evidenzia un trend di ulteriore riduzione dei tempi di ritorno soprattutto nell'area montana del bacino aggravando la condizione di suscettibilità alle piene lampo.

La seconda analisi è stata effettuata perché funzionale alla stima dell'impatto climatico sulle altre piene che possono interessare il reticolo idrografico (per bacini superiori a 2 km²).

I trend riscontrati nei dati risultano sempre significativi (con livello di significatività pari a 0.05) e positivi anche se di modesta entità per le brevi durate. Il trend si rafforza in valore assoluto per le durate superiori alle 6h che, tuttavia, sono di minore interesse per questo bacino in relazione al suo tempo di corrivazione.

L'analisi climatica finalizzata alla valutazione del rischio di piene lampo è stata anche integrata con la valutazione del consumo di suolo ad oggi (dati 2019) e, sulla base della tendenza media del periodo 2012 – 2019, allo scenario di medio termine (2050).

I dati mostrano un consumo di suolo poco significativo in tutto il bacino con meno del 10% del suolo già consumato. Il trend di consumo del suolo mostra sempre un andamento positivo ma molto modesto che non desta preoccupazione nello scenario al 2050 mostra una crescita massima del 1.0% rispetto al 2020 che rappresenta un valore comunque modesto sebbene positivo.

Le seguenti tavole riportano i risultati delle elaborazioni sul bacino che saranno poi utilizzate per le successive valutazioni.

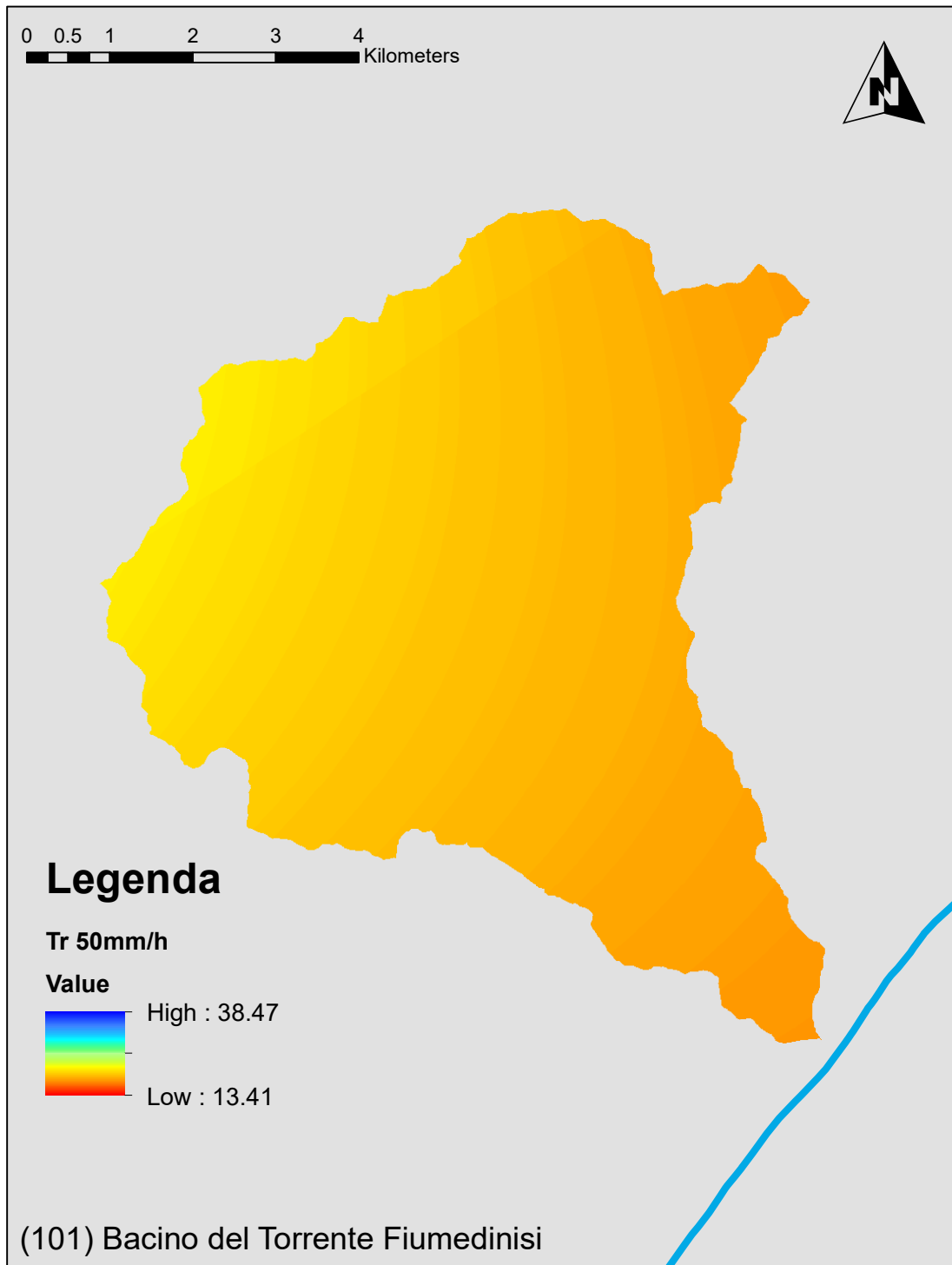


Figura 7 Tempo di ritorno della pioggia indice per il rischio di piene lampo nello scenario attuale (anni)

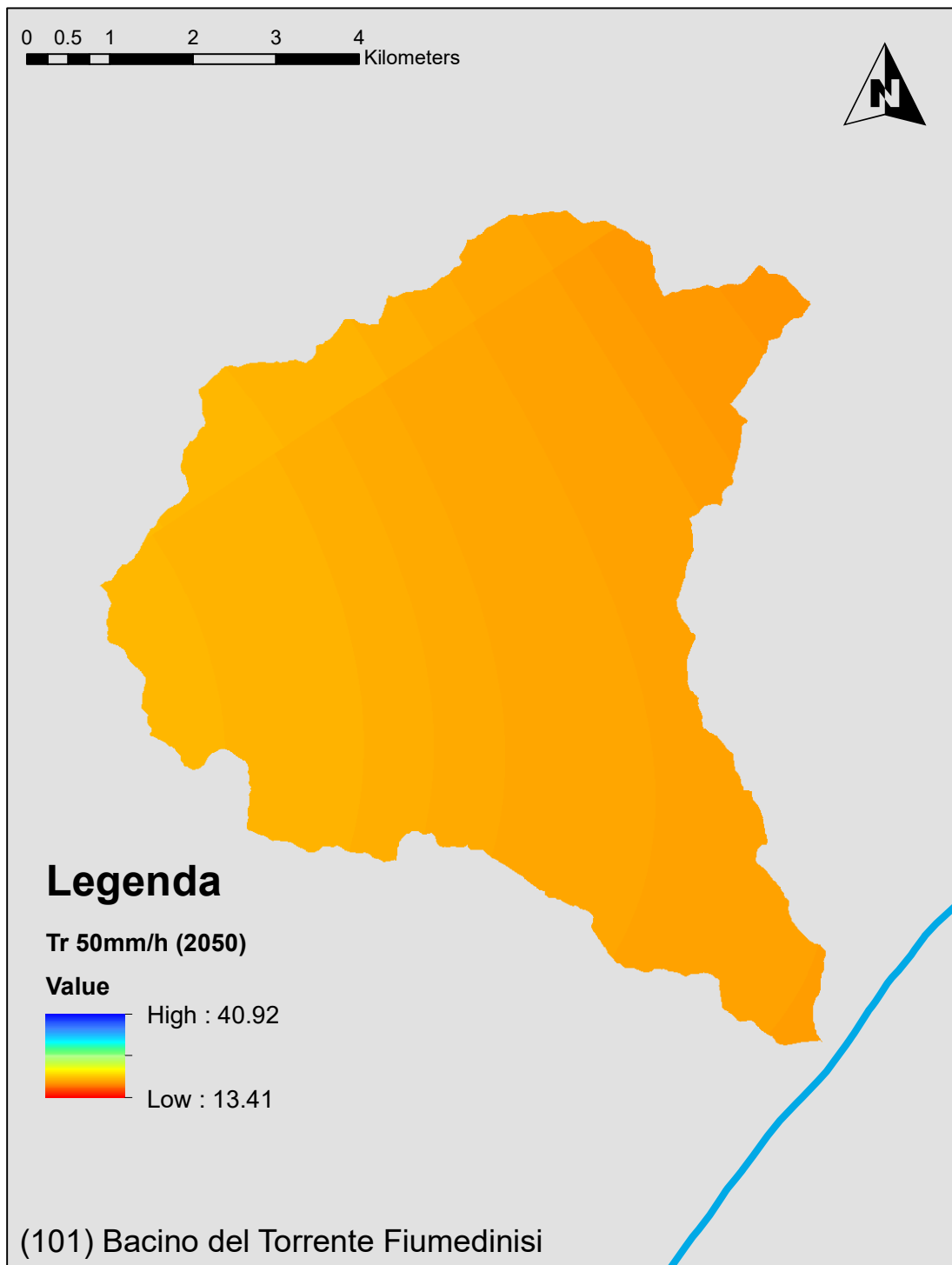


Figura 8 Tempo di ritorno della pioggia indice per il rischio di piene lampo nello scenario di medio termine al 2050 (anni)

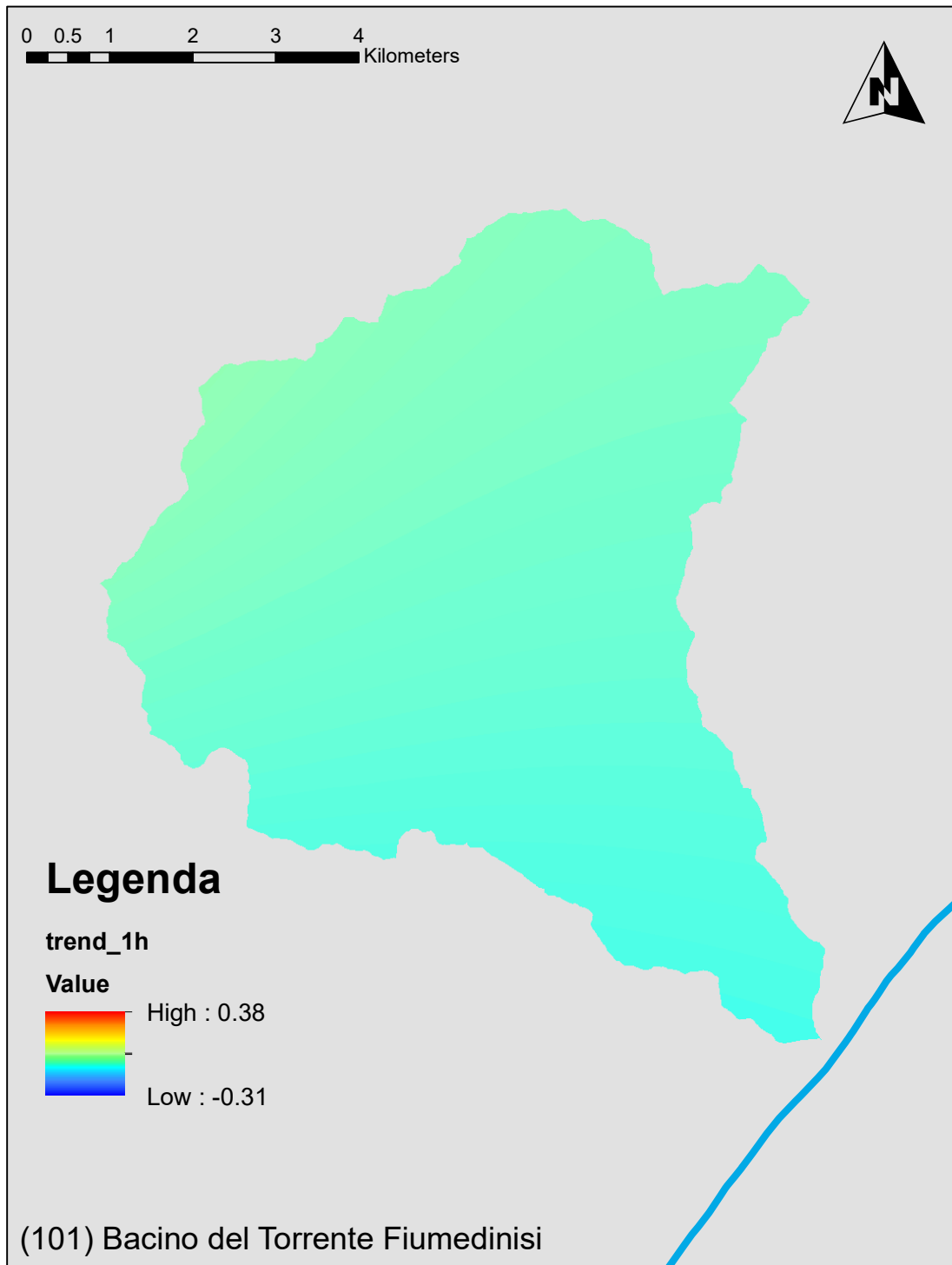


Figura 9 Trend climatico sulle piogge intense di fissata durata pari ad 1 h (mm/anno)

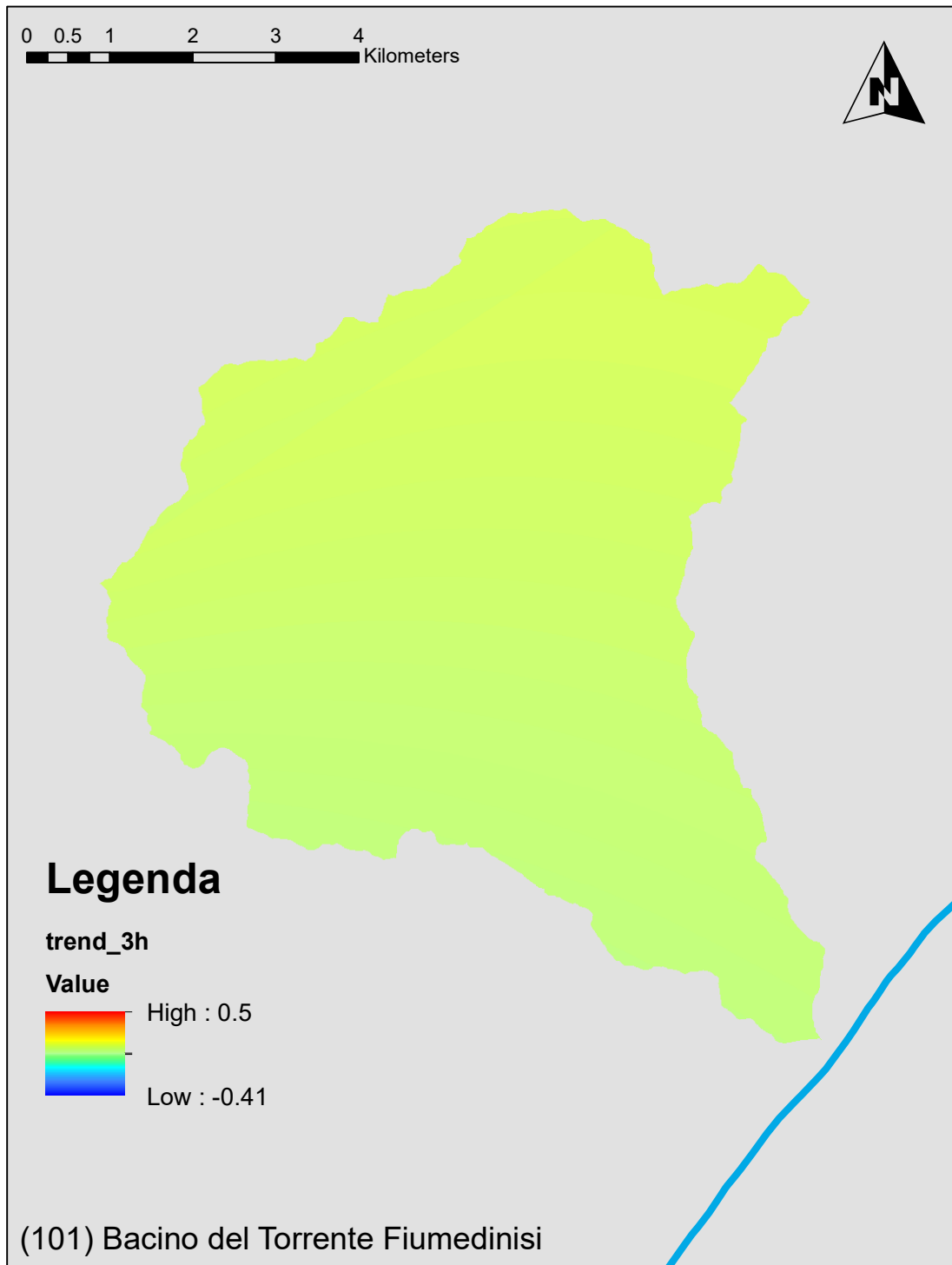


Figura 10 Trend climatico sulle piogge intense di fissata durata pari ad 3 h (mm/anno)

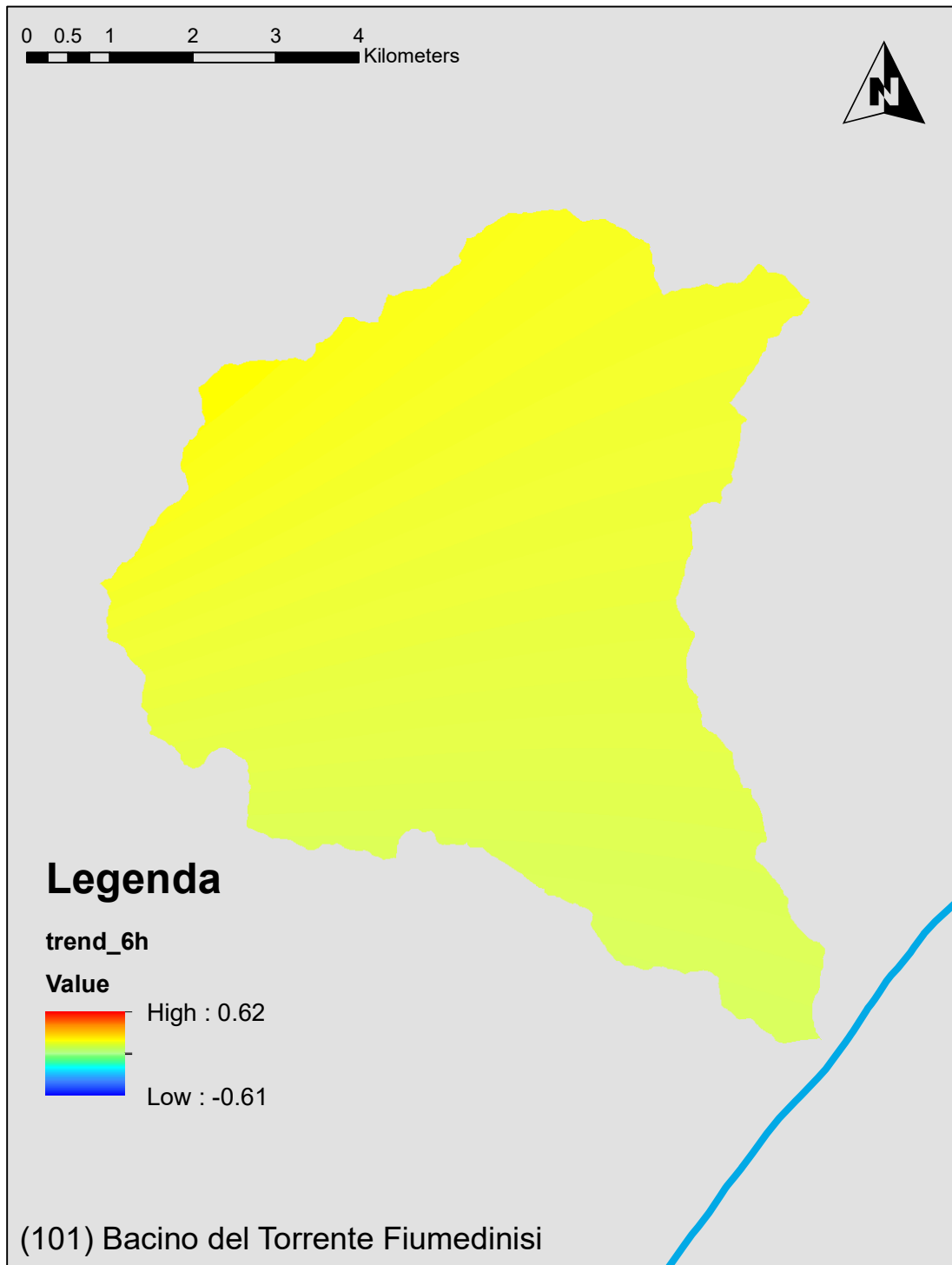


Figura 11 Trend climatico sulle piogge intense di fissata durata pari ad 6 h (mm/anno)

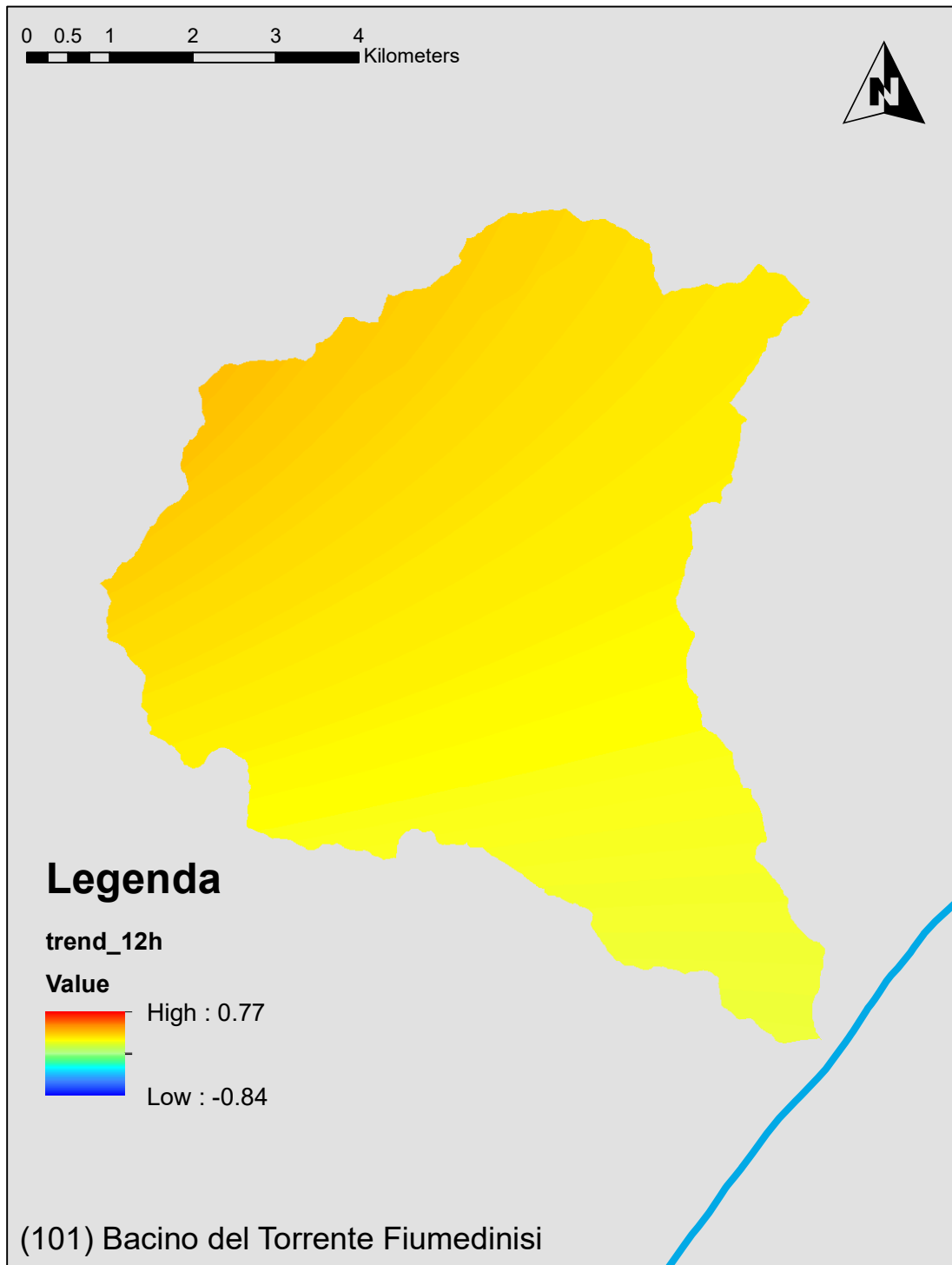


Figura 12 Trend climatico sulle piogge intense di fissata durata pari ad 12 h (mm/anno)

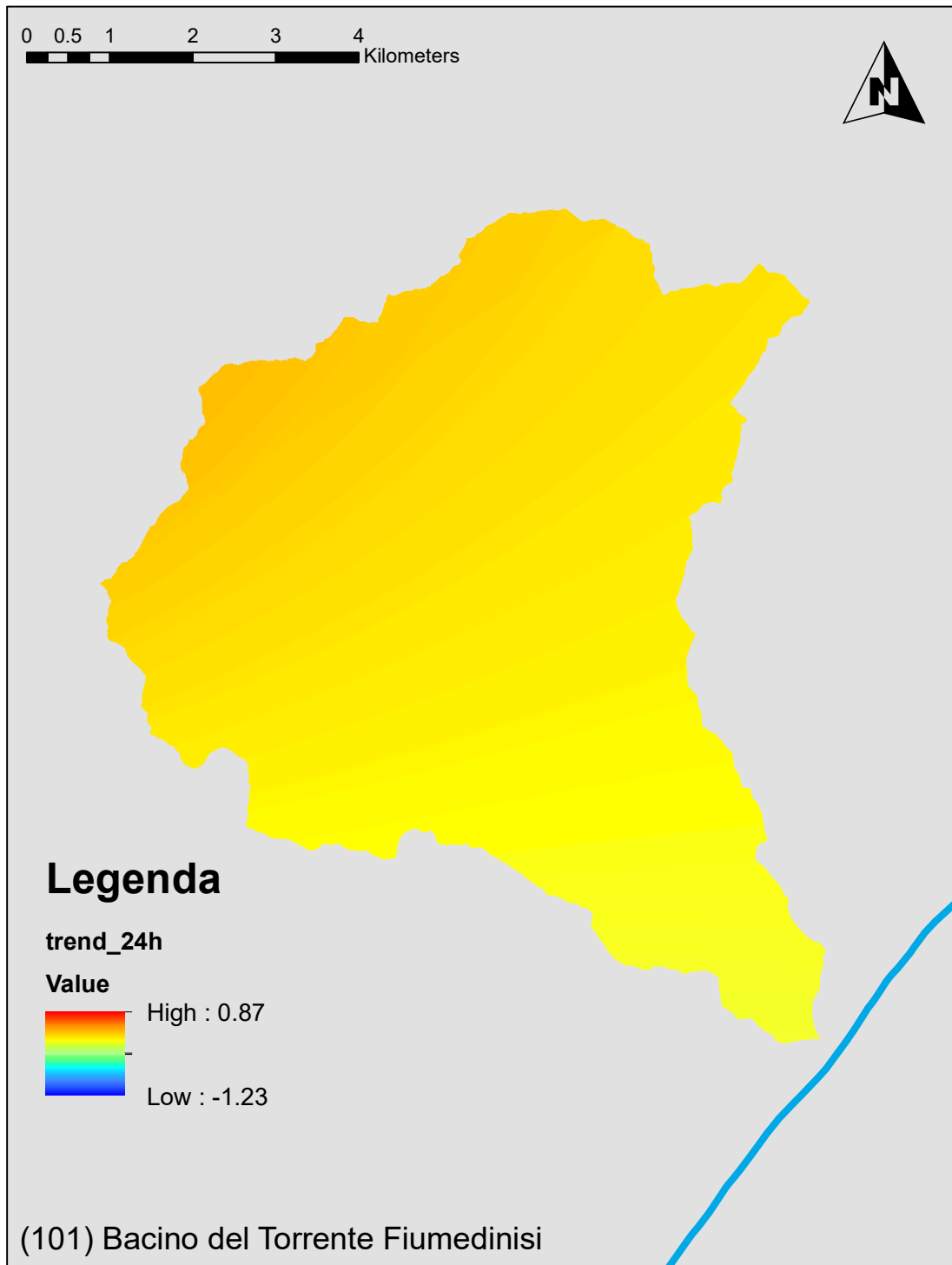


Figura 13 Trend climatico sulle piogge intense di fissata durata pari ad 24 h (mm/anno)

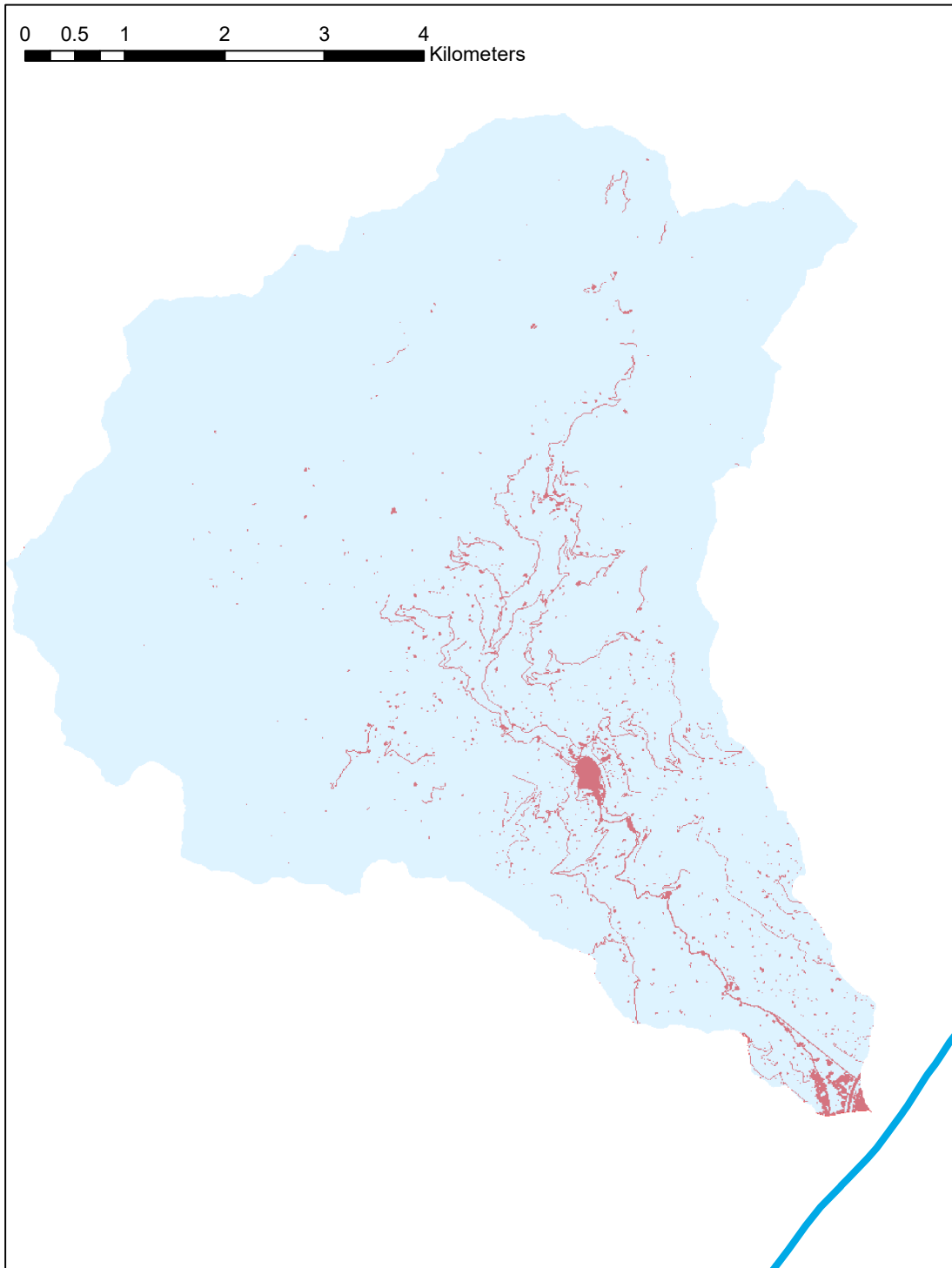


Figura 14 Suolo consumato al 2019 (-)

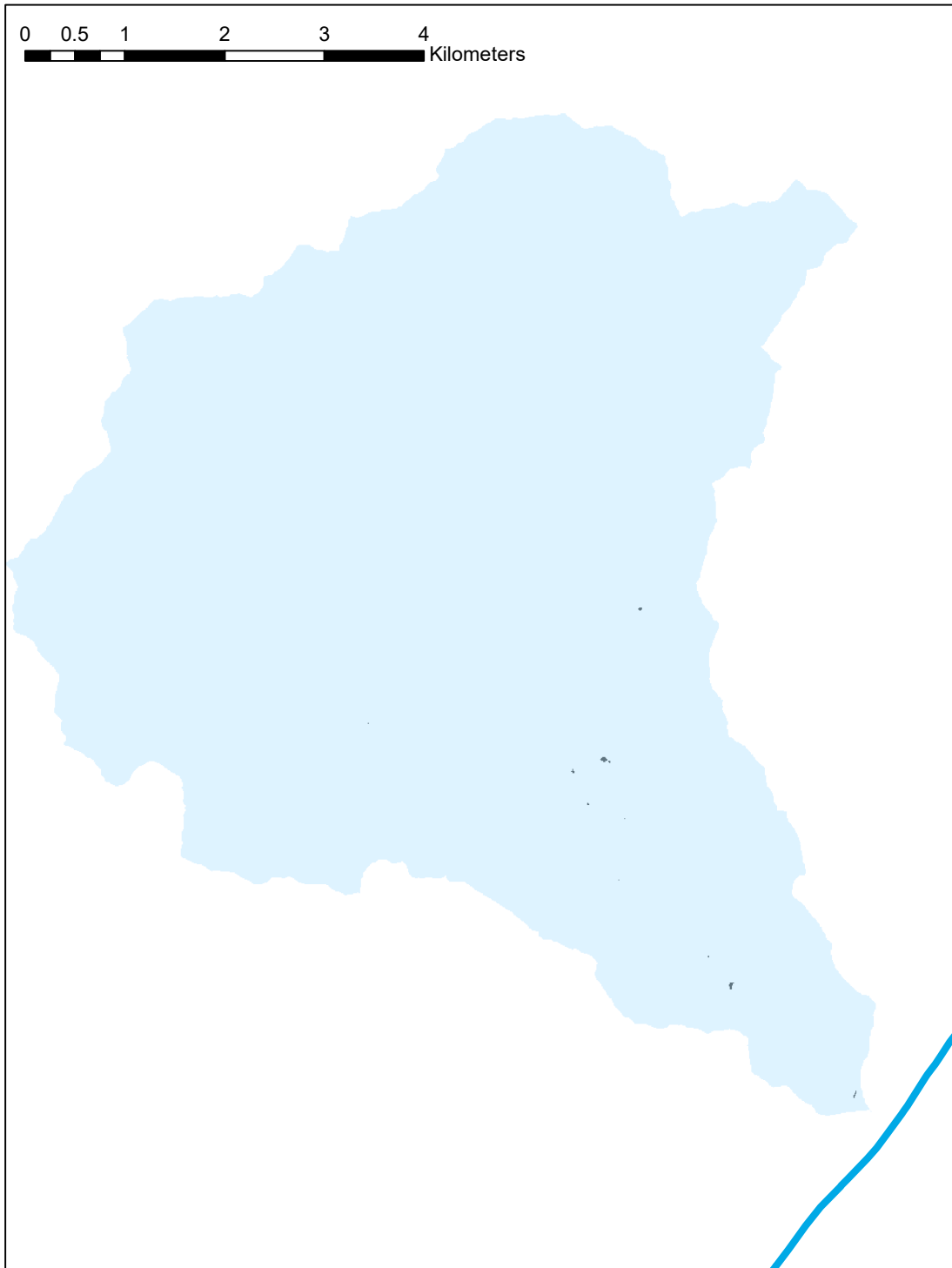


Figura 15 Variazione del suolo consumato nel periodo 2012 – 2019: in verde le aree ripristinate a suolo naturale; in nero le aree consumate nel periodo di riferimento (-)

4 Valutazione della suscettibilità dei bacini alle piene lampo

Sulla base della metodologia Arno (*Brugioni et al.*, 2010), sono stati individuati 4 fattori predisponenti e ciascun fattore suddiviso in 4 classi di suscettibilità.

L'area dei sottobacini

- Minore di 3 km² – Classe 4 (Suscettibilità Molto Elevata)
- Da 3 a 5 km² – Classe 3 (Suscettibilità Elevata)
- Da 5 a 7 km² – Classe 2 (Suscettibilità Moderata)
- Maggiore di 7 km² – Classe 1 (Suscettibilità Bassa)

Il tempo di Lag del sottobacino valutato sulla base delle formulazioni proposte da Brugioni et al. (2010)

- Minore di 0.6 h – Classe 4 (Suscettibilità Molto Elevata)
- Da 0.6 h a 1.2 h – Classe 3 (Suscettibilità Elevata)
- Da 1.2 h a 2 h – Classe 2 (Suscettibilità Moderata)
- Maggiore di 2 h – Classe 1 (Suscettibilità Bassa)

Il tempo di ritorno della pioggia intensa indice (50 mm in un'ora)

- Minore di 20 anni – Classe 4 (Suscettibilità Molto Elevata)
- Da 20 a 23.5 anni – Classe 3 (Suscettibilità Elevata)
- Da 23.5 a 27 anni – Classe 2 (Suscettibilità Moderata)
- Maggiore di 27 anni – Classe 1 (Suscettibilità Bassa)

Grado di consumo del suolo

- Maggiore del 30% – Classe 4 (Suscettibilità Molto Elevata)
- Da 20% al 30% – Classe 3 (Suscettibilità Elevata)
- Da 10% al 20% – Classe 2 (Suscettibilità Moderata)
- Minore del 10% – Classe 1 (Suscettibilità Bassa)

Le tavole relative ai 4 fattori sono stati riportate nel seguito. La figura 11 riporta la media pesata dei 4 fattori attribuendo ciascun bacino ad una differente classe di suscettibilità.

Il valore del tempo di lag è funzione del tempo di corrivazione che è a sua volta è stato calcolato con le molteplici formulazioni proposte in letteratura e che di seguito sono riportate.

$$\text{Giandotti} = (4 \cdot A^{0.5} + 1.5 \cdot L) / (0.8 \cdot (Q_{\text{med}} - Q_{\text{min}})^{0.5})$$

$$\text{Kirpick} = 0.000325 \cdot (L \cdot 1000)^{0.77} \cdot i_b^{-0.385}$$

$$\text{Johnstone and Cross} = (3.258 \cdot (D_{\text{max}} / i_b)^{0.5}) / 60$$

$$\text{California Culvert Practice} = ((11.9 \cdot (L \cdot 0.621371)^3) / ((Q_{\text{max}} - Q_{\text{min}}) \cdot 3.28084))^{0.385}$$

$$\text{NRCS SCS} = (((1000 / \text{CN}) - 9)^{0.7} \cdot (D_{\text{max}} \cdot 1000)^{0.8}) / (441 \cdot (i_b \cdot 100)^{0.5})$$

$$\text{Pezzoli} = 0.055 \cdot L / i_a^{0.5}$$

$$\text{Puglisi} = 6 \cdot \text{LunghezzaAsta}^{2/3} \cdot (Q_{\text{max}} - Q_{\text{min}})^{-1/3}$$

$$\text{Ventura} = 0.1272 \cdot (A / i_a)^{0.5}$$

$$\text{Tournon} = ((0.396 \cdot L) / (i_a)^{0.5}) \cdot ((A / L^2) \cdot (i_a) / i_b)^{0.5})^{0.72}$$

$$\text{Pasini} = 0.108 \cdot ((A \cdot L)^{1/3}) / (i_a)^{0.5}$$

$$\text{Viparelli} = L / (3.5 \cdot 1.5)$$

Dove:

- A [Km²], Area del bacino idrografico
- L [Km], Lunghezza dell'asta principale
- Q_{max} [m], Quota massima del bacino idrografico
- Q_{med} [m], Quota media del bacino idrografico
- Q_{min} [m], Quota minima del bacino idrografico
- CN [0-100], Curve Number
- D_{max} [Km], Distanza massima tra lo spartiacque e la sezione di chiusura
- i_b [m/m], Pendenza media del bacino idrografico
- i_a [m/m], Pendenza media dell'asta principale
- V, Velocità media di deflusso all'interno dei canali, i valori suggeriti dell'autore sono compresi tra [1;1.5] m/s, nell'applicazione online si assume il limite superiore.
- P[Km], Perimetro del bacino idrografico

I fattori relativi alla variabile climatica ed al consumo di suolo sono stati rivalutati anche sulla base dello scenario al 2050 adottando i trend stimati nella relazione generale offrendo così anche un quadro evolutivo della situazione nel corso del prossimo trentennio (Figure 20, 21 e 22).

La Tabella 1 mostra gli indicatori numerici dei 4 criteri per ciascun sottobacino che conducono alla divisione in classi rappresentata nelle figure.

L'analisi del bacino mostra che i fattori morfologici indirizzano l'attenzione verso l'intera corona dei bacini montani con entrambi i fattori che definiscono una suscettibilità molto alta e, in particolare, il lag time che identifica ben 9 sottobacini nella classe più elevata. I fattori climatici non sembrano essere discriminanti tra i sottobacini ma posizionano comunque l'intero bacino nelle due maggiori classi di suscettibilità con tempi di ritorno delle piogge indice che risultano bassi. La condizione si aggrava nello scenario climatico di medio termine con tutti i sottobacini che rientrano nella massima classe per quanto attiene ai fattori climatici. Il consumo di suolo sia al 2020 che al 2050 ricade interamente in classe 1 a cui corrispondono percentuali minori del 10%. Nello scenario di suscettività al 2020, l'analisi complessivamente individua 1 sottobacino in classe 4 per il quale il rischio di piene lampo è molto elevato e per cui è opportuno procedere alla definizione di misure specifiche. Nello scenario al 2050, il livello di suscettività aumenta segnando il passaggio di alcuni sottobacini dalla classe 3 alla 4 sempre nell'area montata a causa del peggioramento dei fattori climatici.

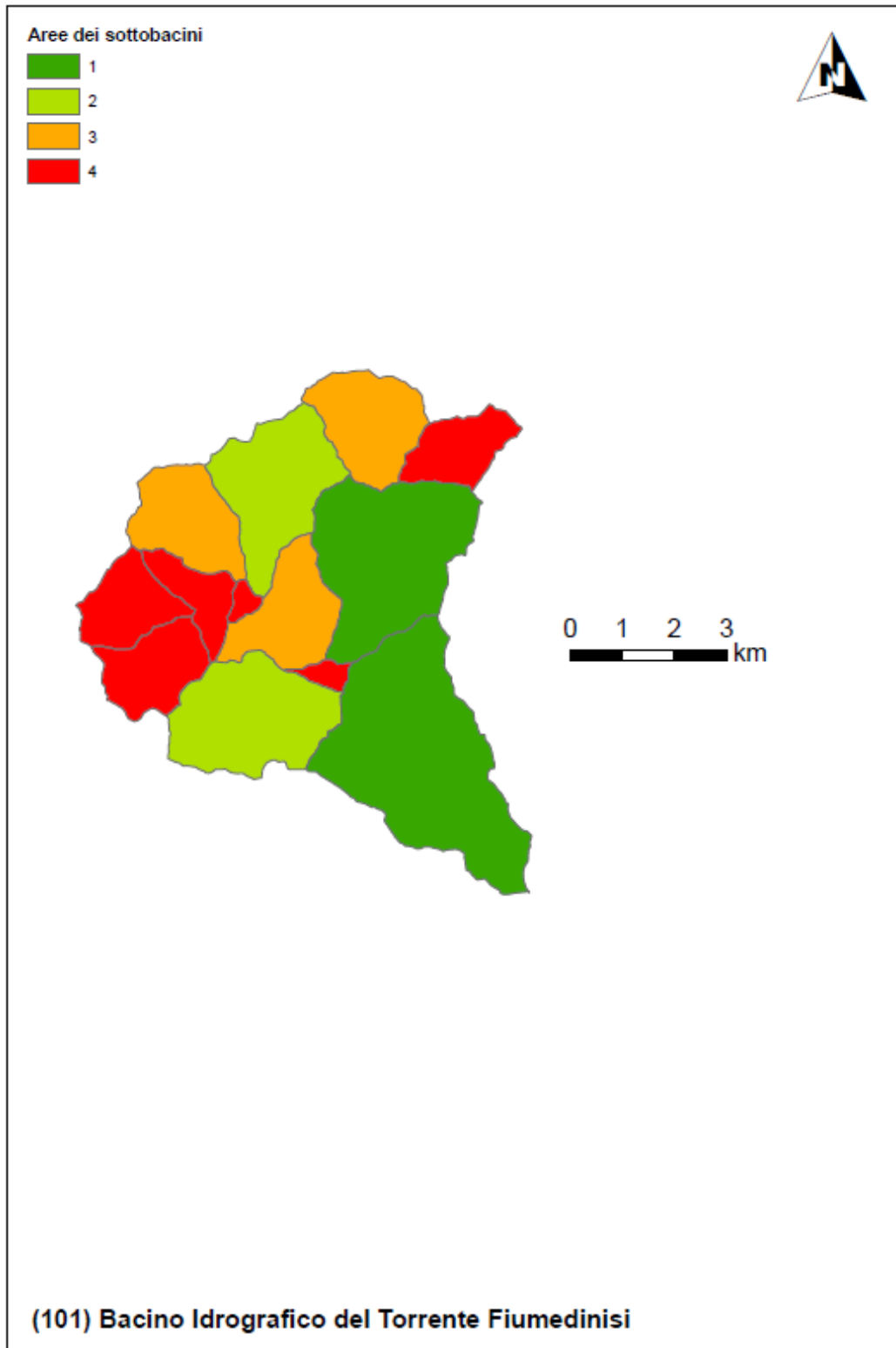


Figura 16 Fattore predisponente alle piene lampo legato all'area del sottobacino drenato

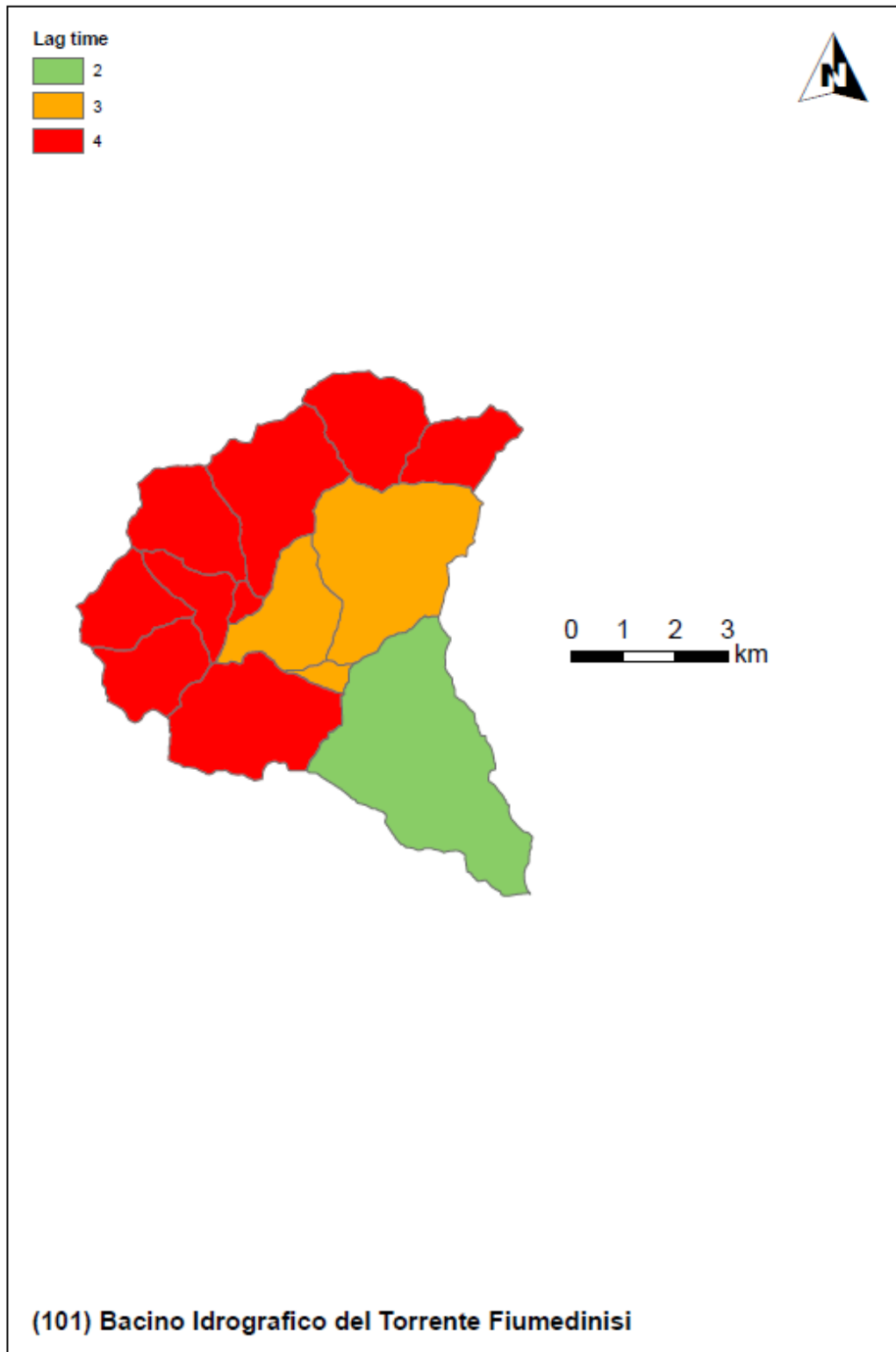


Figura 17 Fattore predisponente legato al tempo di lag del sottobacino drenato

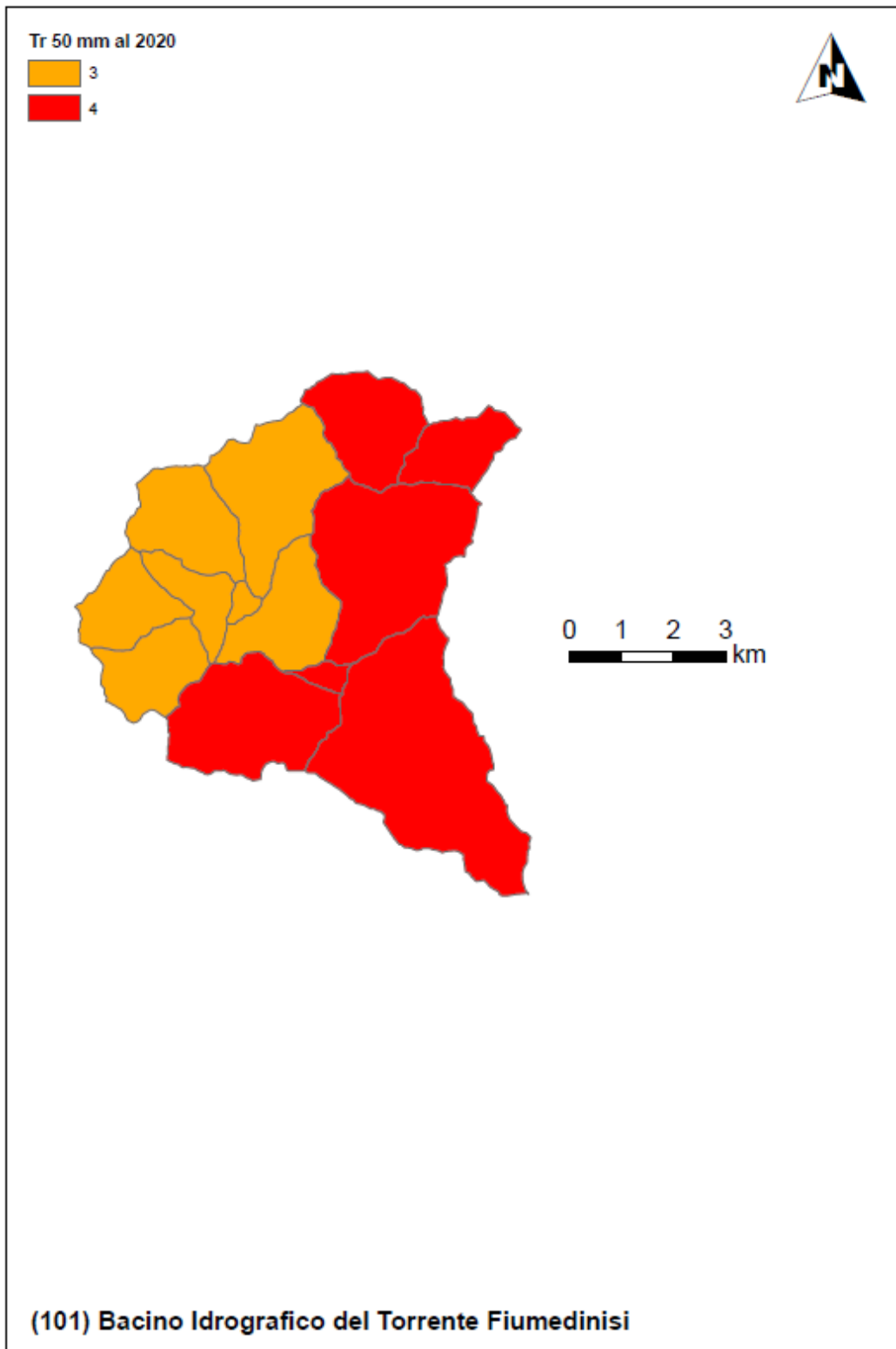


Figura 18 Fattore predisponente legato al tempo di ritorno della pioggia indice (Scenario Attuale)

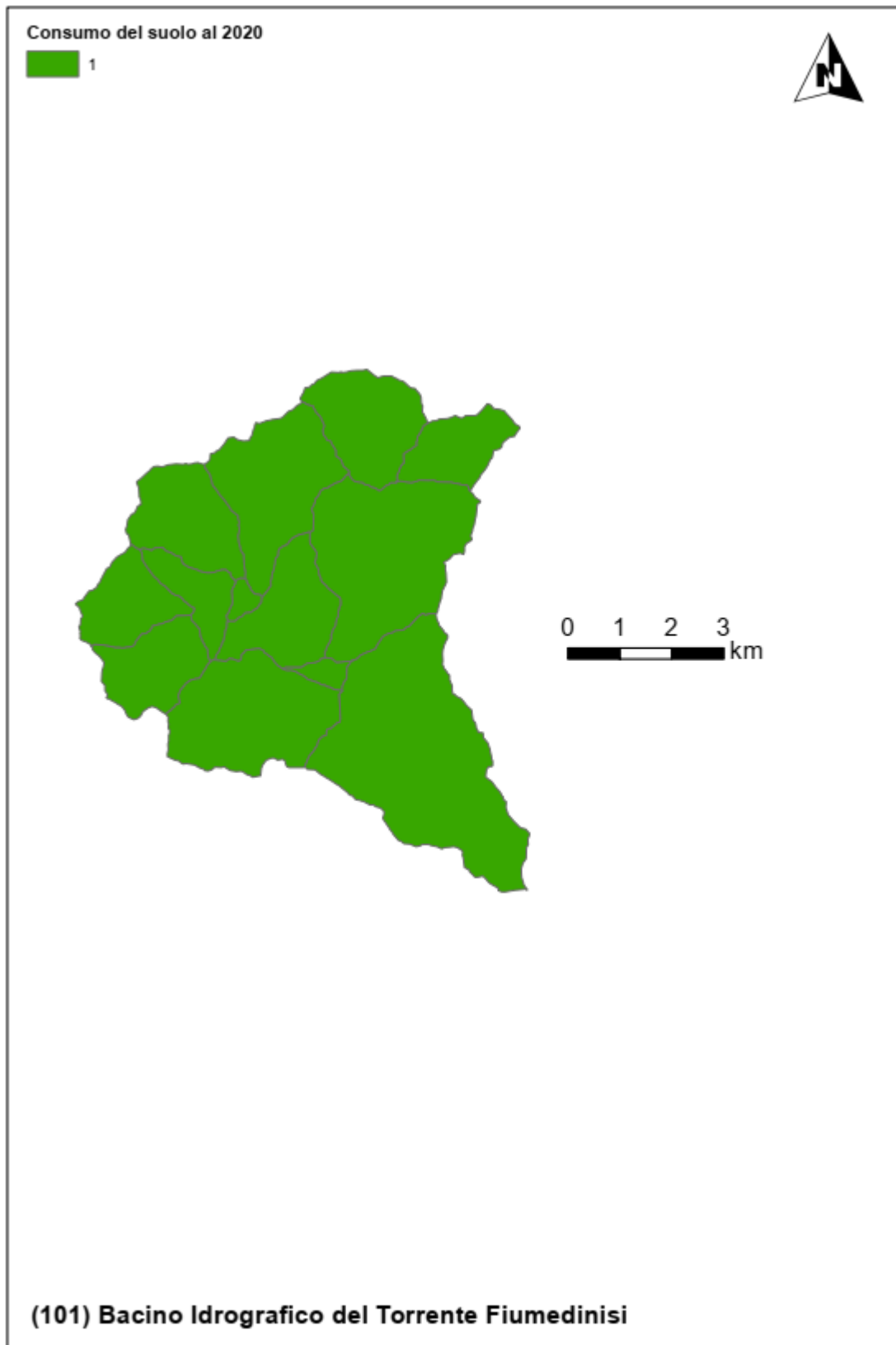


Figura 19 Fattore predisponente legato al consumo di suolo (Scenario Attuale)

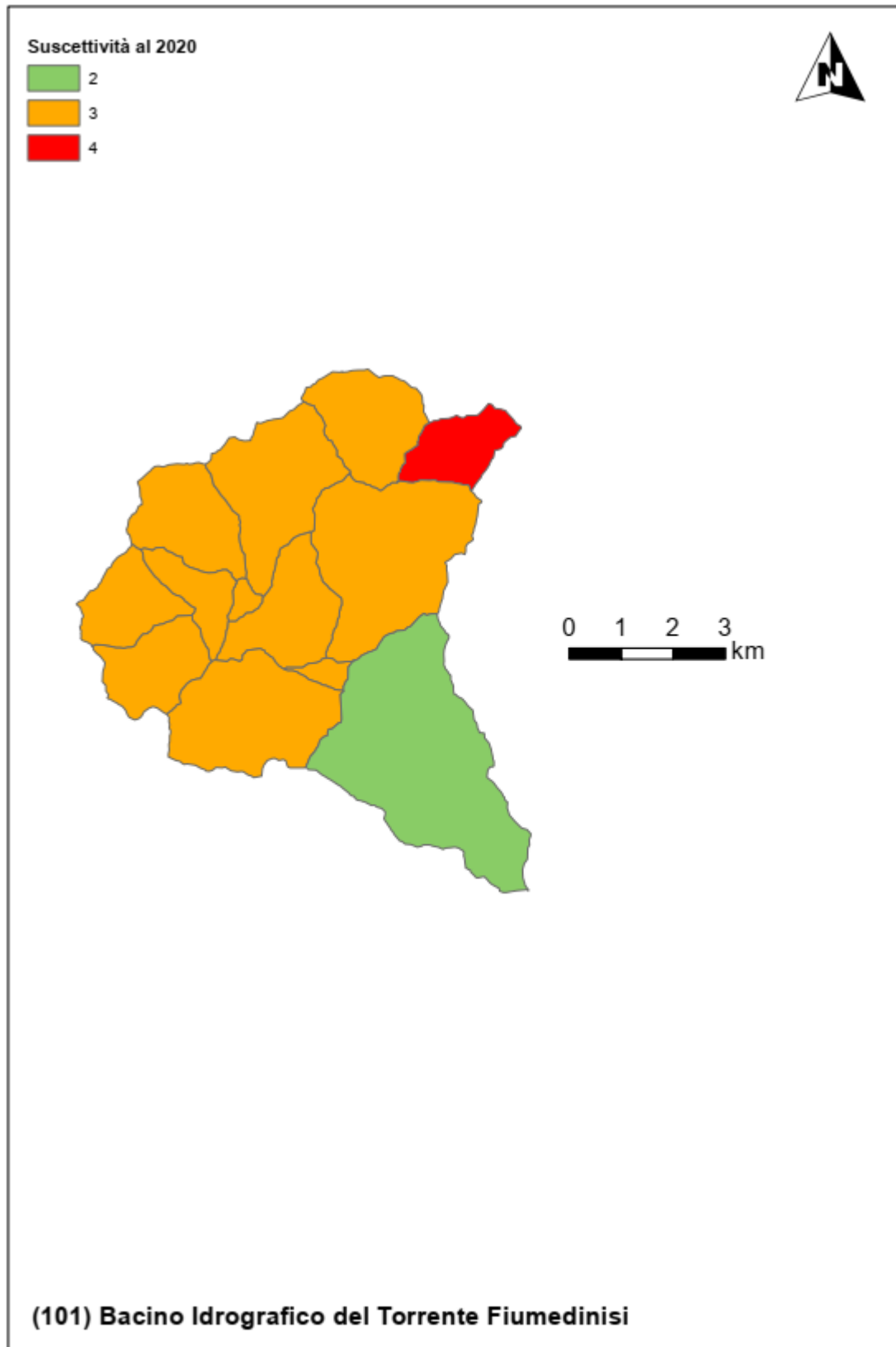


Figura 20 Sintesi della suscettibilità alle piene lampo (Scenario Attuale)

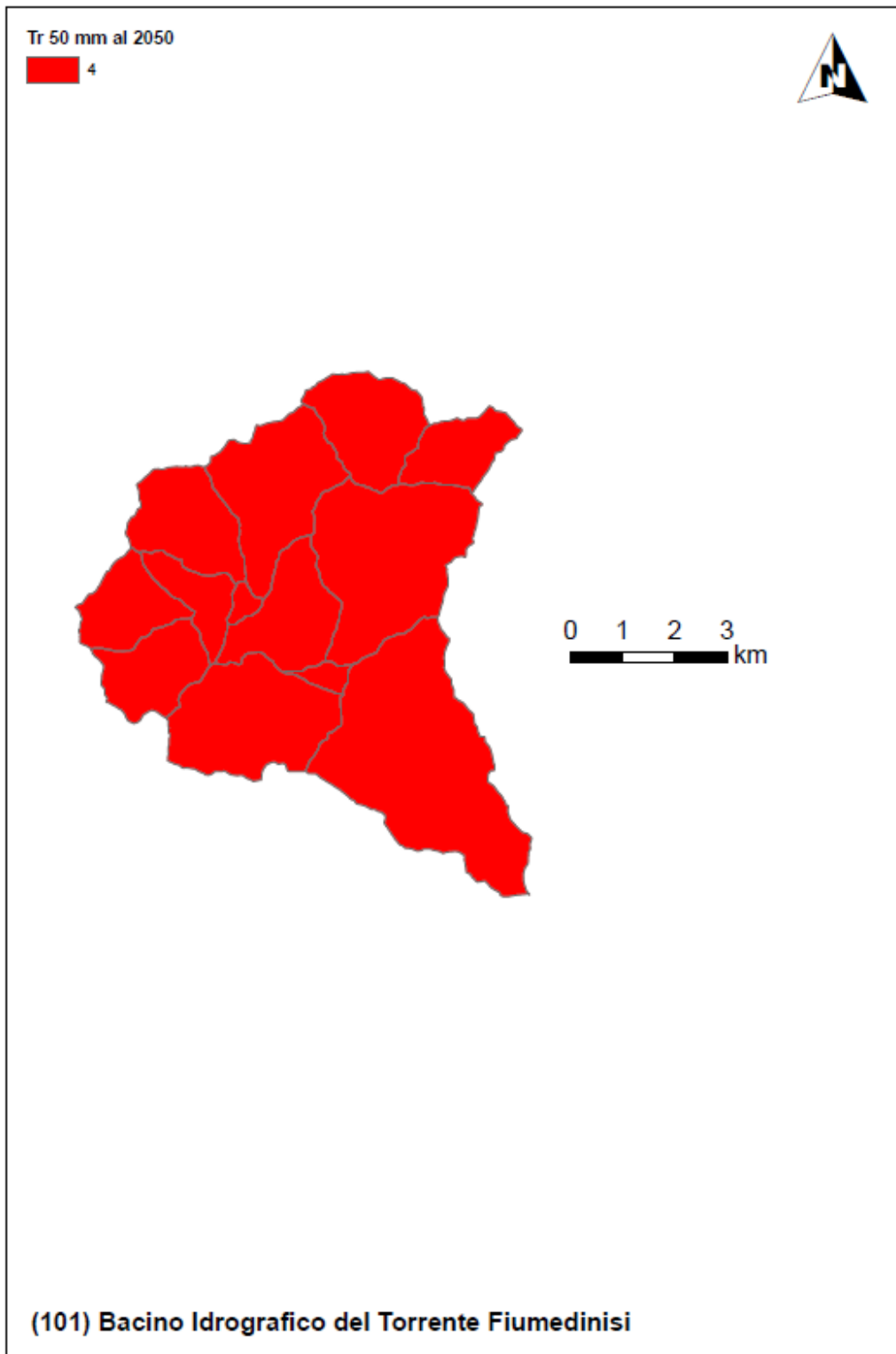


Figura 21 Fattore predisponente legato al tempo di ritorno della pioggia indice (Scenario al 2050)

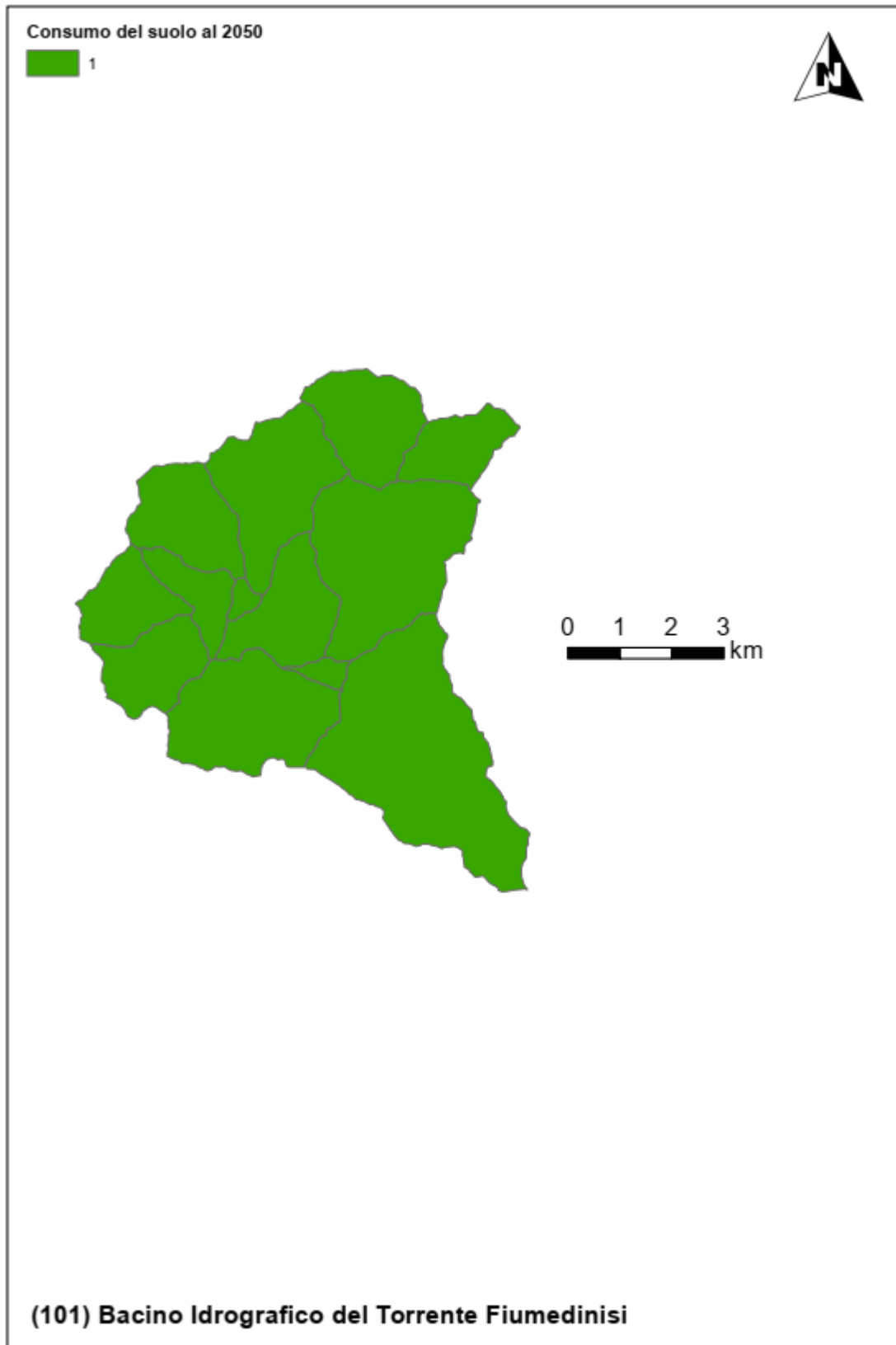


Figura 22 Fattore predisponente legato al consumo di suolo (Scenario al 2050)

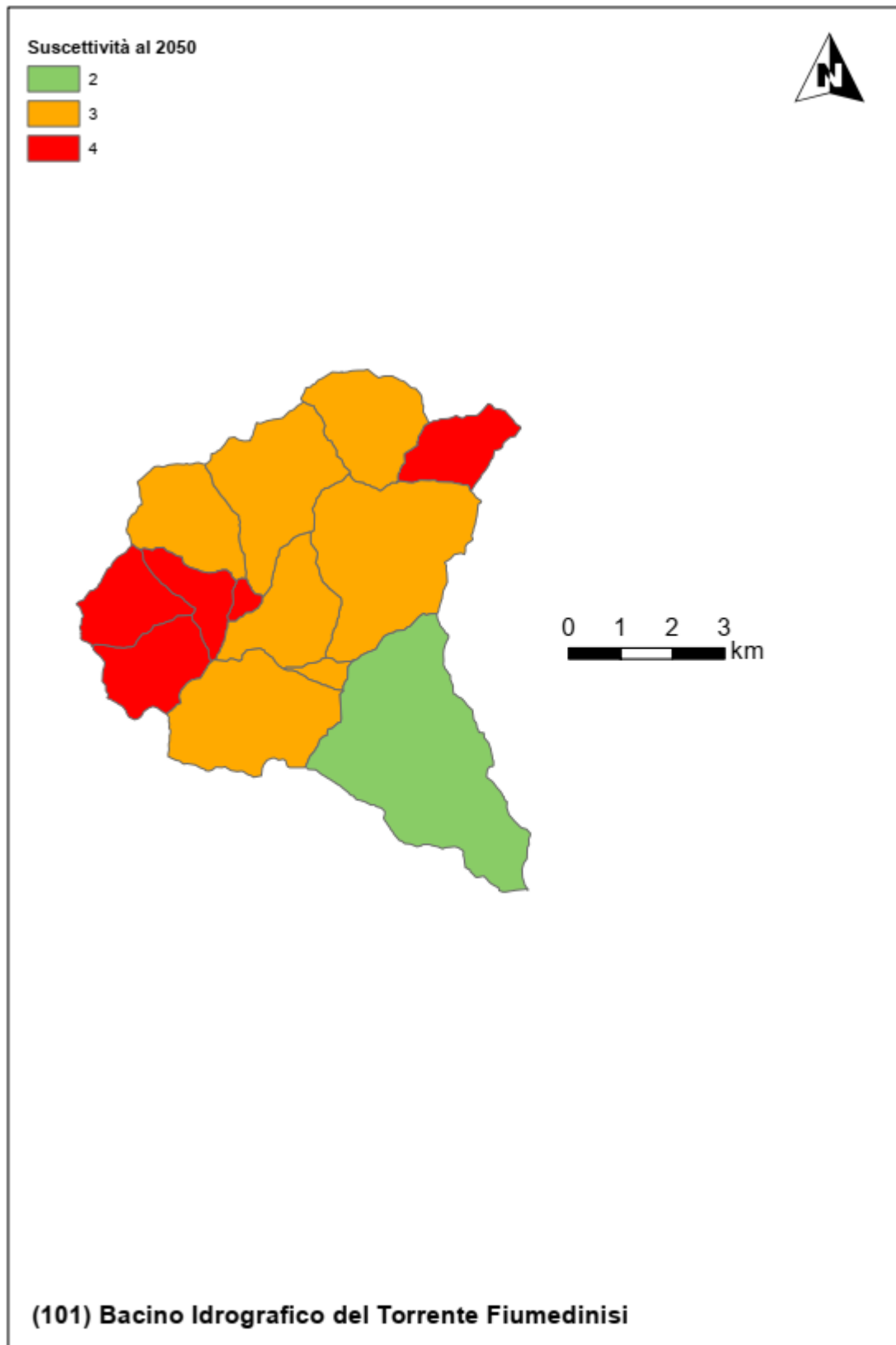


Figura 23 Sintesi della suscettibilità alle piene lampo (Scenario al 2050)

Tabella 1 Indicatori numerici relativi ai criteri di valutazione della suscettibilità alle piene lampo (Brugioni et al., 2010)

(101) Bacino Idrografico del Torrente Fiumedinisi

Valori, rispettivamente, dell'area, lag time, tempo di ritorno corrispondente alla pioggia di 50mm in 1 ora al 2020 e con proiezione al 2050 e consumo del suolo al 2020 e 2050 per ciascuno dei sottobacini.

IDs	Area [kmq]	Lag time [h]	Tempo di ritorno 50mm/1h al 2020 [anni]	Tempo di ritorno 50mm/1h al 2050 [anni]	Consumo del suolo 2020 [%]	Consumo del suolo 2050 [%]
1	3.55	0.47	19.78	18.35	0.62	0.62
2	2.21	0.40	77.62	72.62	0.12	0.12
3	7.74	0.74	39.42	36.82	2.40	2.40
4	5.09	0.54	20.23	18.59	0.08	0.08
5	3.38	0.41	20.66	18.79	0.06	0.06
6	0.32	0.53	20.24	18.68	0.31	0.31
7	3.30	0.71	20.04	18.62	2.57	2.57
8	2.41	0.38	20.74	18.86	0.03	0.03
9	1.61	0.47	20.45	18.75	0.19	0.19
10	2.69	0.38	20.46	18.84	0.01	0.01
11	0.41	0.81	59.51	55.74	6.25	6.25
12	11.34	1.25	58.31	55.31	6.32	6.58
13	5.70	0.50	19.99	18.70	0.86	0.86

5 Valutazione della suscettibilità delle piene ai trend climatici

Per quanto riguarda i tratti fluviali i cui bacini sono caratterizzati da tempi di corrivazione superiore all'ora si è proceduto ad un'ulteriore analisi dell'impatto dei trend climatici sul rischio. Per questi casi, l'utilizzo della variabile idrologica proposta dal metodo Arno (Brugioni et al., 2010) non risulta congrua rispetto ai tempi di corrivazione del bacino e, di conseguenza, in questi casi si è preferito stimare il trend climatico medio per durate prossime al tempo di corrivazione. Quest'ultimo è stato stimato attraverso le formulazioni proposte dal metodo Arno calcolando il valore medio delle sole formule empiriche che risultano compatibili con le caratteristiche morfologiche del bacino.

Nel caso in cui il tempo di corrivazione del bacino sia intermedio rispetto a due durate di cui si dispone dell'analisi idrologica, il trend è stato valutato tramite interpolazione tramite legge di potenza.

La seguente figura mostra, nello scenario climatico di medio termine (2050), e per ciascuna sezione di chiusura (individuata con inter-distanza minima pari a 10 m) la variazione percentuale media delle piogge intense per durate assimilabili al tempo di corrivazione dell'area drenata.

L'analisi mostra un trend globalmente positivo sulle piogge intense e, di conseguenza, è prevedibile che le portate di piena debbano crescere seguendo il possibile sviluppo dell'attuale trend climatico. In termini quantitativi, l'impatto può definirsi modesto in tutto il bacino con aumenti, riferiti allo scenario climatico di medio termine, inferiori al 5% delle piogge di massima intensità e durata prossima al tempo di corrivazione.



Figura 24 Variazione climatica nel periodo 2020 – 2050 per i picchi annuali di pioggia di massima intensità e durata pari al tempo di corrivazione dell'area drenata

6 Modifiche alle misure di piano

6.1 Aggiornamento della valutazione dei punteggi tecnici alle misure inserite nel piano in relazione alla valutazione del cambiamento climatico

L'analisi della suscettibilità del bacino alle piene lampo evidenzia già allo stato attuale un rischio elevato o molto elevato in alcuni sottobacini posizionati nella porzione montana del bacino. Tale condizione, sebbene l'analisi evidenzi trend climatici statisticamente significativi ed una progressiva crescita del consumo di suolo, sembra soggetta a significative variazioni che portano ad un ulteriore aggravamento dei rischi.

Il quadro d'impatto del cambiamento climatico sui bacini a maggiore tempo di corrivazione evidenzia trend climatici significativi ma appena positivi con una modesta crescita della media delle piogge di massima intensità e durate paragonabili con i tempi di corrivazione delle aree drenate.

Le misure previste dal piano già prevedono interventi non strutturali per la prevenzione del rischio alluvioni e misure di preparazione e protezione tra cui il monitoraggio delle variabili climatiche, i sistemi di allerta e la segnalazione delle aree fluviali a maggiore rischio.

Alla luce dell'analisi svolta e dell'aggiornamento dei punteggi tecnici previsti dal Piano, si ritiene in questa sede di confermare il quadro delle misure adottate.

6.2 Proposta di nuove misure per la mitigazione delle piene lampo e dell'impatto del cambiamento climatico

L'analisi della suscettibilità del bacino alle piene lampo suggerisce di **concentrare lo sviluppo di sistemi di monitoraggio, allertamento e segnalazione del pericolo nei bacini ad alta suscettibilità** evidenziati dallo scenario attuale e sostanzialmente confermati dallo scenario a medio termine. Tale misura deve essere applicata ai bacini montani caratterizzati da forti pendenze e percorsi idraulici brevi (Figura 25).

Tali interventi andranno tarati sulla previsione di eventi di breve e brevissima durata che maggiormente influiscono sul rischio di piene lampo.

In considerazione del fatto che la variazione climatica sulle piogge intense risulta modesta nello scenario 2050 non si ritiene di proporre in questa sede l'applicazione di norme specifiche per la rivalutazione della pericolosità e del rischio idraulico e per la progettazione delle opere di mitigazione e salvaguardia.

Si rimanda comunque al successivo ciclo di aggiornamento del Piano per la rivalutazione dei trend climatici, alla luce dei nuovi dati che saranno disponibili, e l'eventuale imposizione di specifici vincoli.

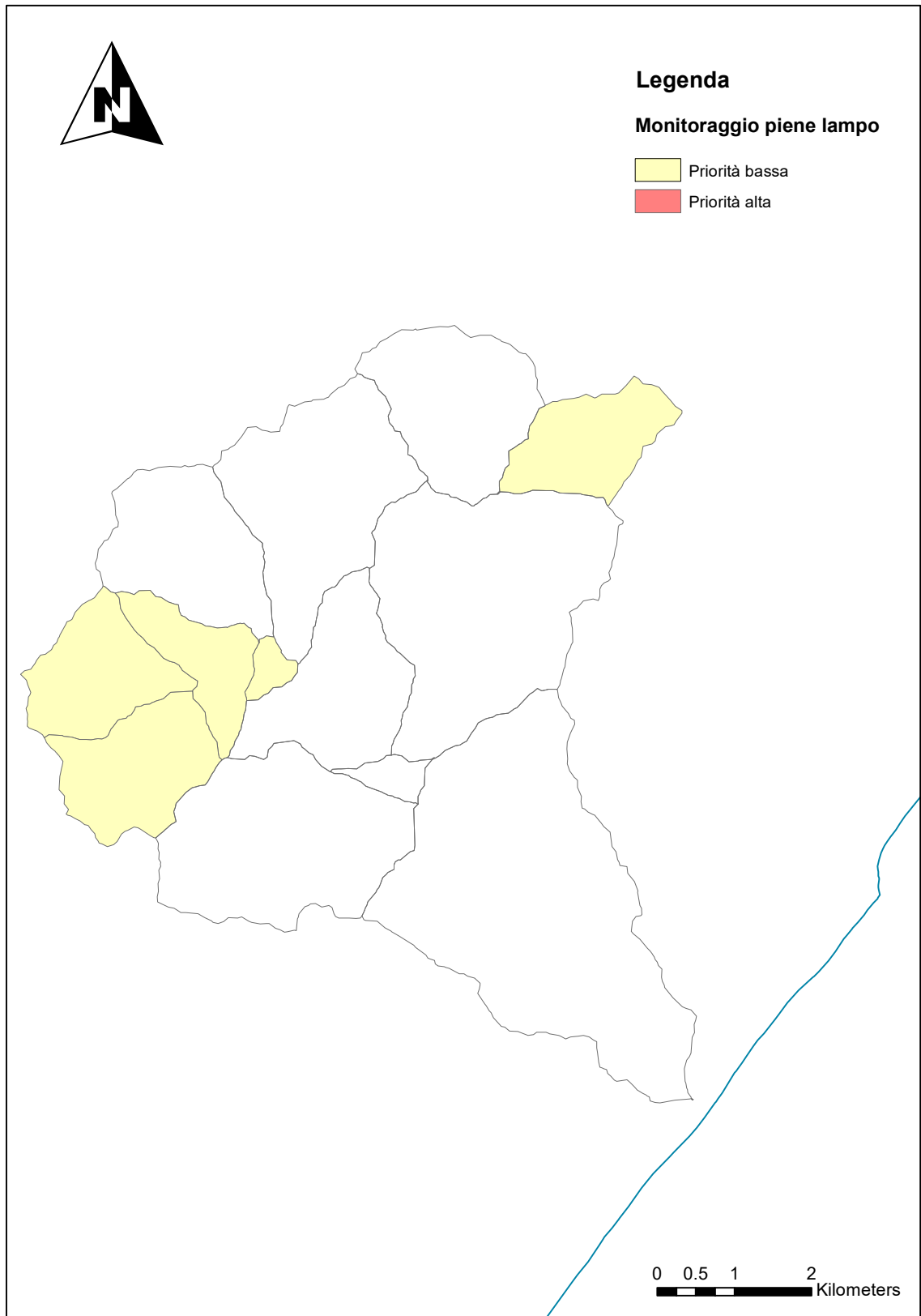


Figura 25 Aree su cui applicare le misure di monitoraggio delle piene lampo